

Statički proračun stambene zgrade

Novaković, Tomislav

Undergraduate thesis / Završni rad

2024

Degree Grantor / Ustanova koja je dodijelila akademski / stručni stupanj:

University of Split, Faculty of Civil Engineering, Architecture and Geodesy / Sveučilište u Splitu, Fakultet građevinarstva, arhitekture i geodezije

Permanent link / Trajna poveznica: <https://urn.nsk.hr/urn:nbn:hr:123:176074>

Rights / Prava: [In copyright/Zaštićeno autorskim pravom.](#)

Download date / Datum preuzimanja: **2024-11-30**

Repository / Repozitorij:



[FCEAG Repository - Repository of the Faculty of Civil Engineering, Architecture and Geodesy, University of Split](#)



SVEUČILIŠTE U SPLITU
FAKULTET GRAĐEVINARSTVA, ARHITEKTURE I GEODEZIJE

ZAVRŠNI RAD

Tomislav Novaković

Split, 2024.

SVEUČILIŠTE U SPLITU
FAKULTET GRAĐEVINARSTVA, ARHITEKTURE I GEODEZIJE

Tomislav Novaković

Statički proračun stambene zgrade

Završni rad

Split, 2024.



SVEUČILIŠTE U SPLITU
FAKULTET GRAĐEVINARSTVA,
ARHITEKTURE I GEODEZIJE

UNIVERSITY OF SPLIT
FACULTY OF CIVIL ENGINEERING,
ARCHITECTURE AND GEODESY

STUDIJ: SVEUČILIŠNI PRIJEDIPLOMSKI STUDIJ GRAĐEVINARSTVO

KANDIDAT: Tomislav Novaković

MATIČNI BROJ: (4915) 0083228175

KATEDRA: Katedra za teoriju konstrukcija

KOLEGIJ: Građevna statika 2

ZADATAK ZA ZAVRŠNI RAD

Tema: Statički proračun stambene zgrade

Opis zadatka:

Izraditi proračun konstrukcije stambene zgrade za gravitacijska djelovanja.

Odrediti djelovanja te dokazati mehaničku otpornost karakterističnih elemenata konstrukcije (međukatna ploča, greda, zid, temelj) na računalnom proračunskom modelu.

U Splitu, 12.04.2024.

Mentor: Prof. dr. sc. Boris Trogrlić

Statički proračun stambene zgrade

Sažetak:

U radu je prikazan statički proračun stambene zgrade. Kuća se sastoji od prizemlja, tri kata i ravnoga krova. Nosiva konstrukcija građevine će biti izvedena od armirano betonskih zidova i ploča.

Projekt sadrži: tehnički opis, proračun nosivih konstrukcijskih elemenata te karakteristične građevinske nacrte.

Ključne riječi:

Stambena zgrada, Statički proračun

Static calculation of residential building

Abstract:

The static design of the building is presented in this work. The building consist of ground floor, three stories and flat roof. Structure is made of reinforced concrete consisting of walls and plates.

The work includes technical description of the structure, calculation of the main structural elements and characteristic structural plans.

Keywords:

Residential building, Static calculation

Sadržaj

1. TEHNIČKI OPIS	6
1.1. Opis i konstrukcijski sastav građevine.....	6
1.2. Geotehnički izvještaj.....	6
2. 3-D PRORAČUNSKI MODEL GRAĐEVINE	7
3. ANALIZA OPTEREĆENJA.....	9
3.1. Podaci o osnovnim djelovanjima	9
3.2. Stalno opterećenje (G_0)	9
3.2.1. Vlastita težina elemenata konstrukcije.....	9
3.2.2. Krovna ploča.....	10
3.2.3. Međukatne ploče	11
3.2.4. Natkrivena terasa	12
3.3. Promjenjivo opterećenje (Q_i).....	13
4. PRIKAZ OSNOVNIH DJELOVANJA.....	14
4.1. Krovna ploča.....	14
4.2. Međukatna ploča	15
5. KOMBINACIJE DJELOVANJA.....	16
6. PRORAČUN PLOČA.....	17
6.1. Međukatna ploča	17
6.1.1. Prikaz modela i rezultata međukatne ploče	17
6.1.2. Kontrola progiba i pukotina međukatne ploče.....	22
6.1.3. Kontrola progiba međukatne ploče	22
6.1.4. Kontrola pukotina	23
6.2. Proračun krovne ploče	26
6.2.1. Prikaz modela i rezultata krovne ploče.....	26
6.2.2. Kontrola progiba	32
6.2.3. Kontrola pukotina	33
7. PRORAČUN AB GREDA.....	36
7.1. Međukatna greda.....	36
7.1.1. Prikaz rezultata proračuna.....	36
7.1.2. Dimenzioniranje na moment savijanja	37
7.1.3. Dimenzioniranje na poprečnu silu	38
7.1.4. Kontrola progiba	40
7.1.5. Kontrola pukotina	41

8. PRORAČUN ZIDOVA.....	43
8.1. Opći uvjeti.....	43
8.2. Prikaz modela i dijagrama	44
9. PRORAČUN TEMELJA.....	49
9.1. Proračun trakastih temelja.....	51
9.1.1. Model trakastih temelja	51
9.1.2. Proračun širine temeljne stope	52
9.1.3. Slijeganje građevine.....	54
10. GRAFIČKI PRILOZI	55
11. LITERATURA	56

1. TEHNIČKI OPIS

1.1. Opis i konstrukcijski sastav građevine

Predmet ovog završnog rada je proračun nosive konstrukcije građevine stambene namjene. Građevina se sastoji od ukupno tri etaže, nepravilnog je tlocrtnog oblika –dimenzija 14,20 x 11,80m.

Ukupna visina građevine iznosi 12,45 m, mjereno od podne ploče prizemlja.

Glavni nosivi konstrukcijski sustav sastoji se od armirano-betonskih (AB) zidova i međukatnih konstrukcija koje su izrađene od armiranog betona, lijevane na licu mjesta debljine 20 cm. Ravna krovna ploča je debljine 20 cm i izvedena je od armiranog betona. Vertikalna nosiva konstrukcija građevine su zidovi debljine 20 cm. Temeljenje je predviđeno ispod zidova prizemlja trakasti temelji (dimenzija 70 x 60 cm).

U proračunu su dane osnovne dimenzije armature za pojedine konstruktivne elemente.

Elementi koji se ne proračunavaju armiraju se konstruktivno.

Za sve betonske rade predviđen je beton C 25/30 , te armatura B 500B. Skidanje

podupirača za ploče može se izvršiti nakon postignute minimalne čvrstoće od 80%.

Za temelje je upotrebljena klasa betona C 25/30.

Svi računalni proračuni su izvršeni u programu „*Scia Engineer*“. Svi ostali podaci i detalji vezani za objekt dani su kroz projektna rješenja.

1.2. Geotehnički izvještaj

Za predmetnu građevinu su izvršeni geotehnički istražni radevi.

Matična stijena nalazi se na oko 160 cm od površine terena, temeljenje građevine će se izvesti na njoj. Pri završetku iskopa temeljnu plohu potrebno je ručno očistiti od ostataka razlomljenog materijala.

Nakon obavljenog čišćenja temeljne plohe potrebno je neravnine i udubine popuniti i izravnati podložnim betonom C 16/20 do projektirane kote temeljenja.

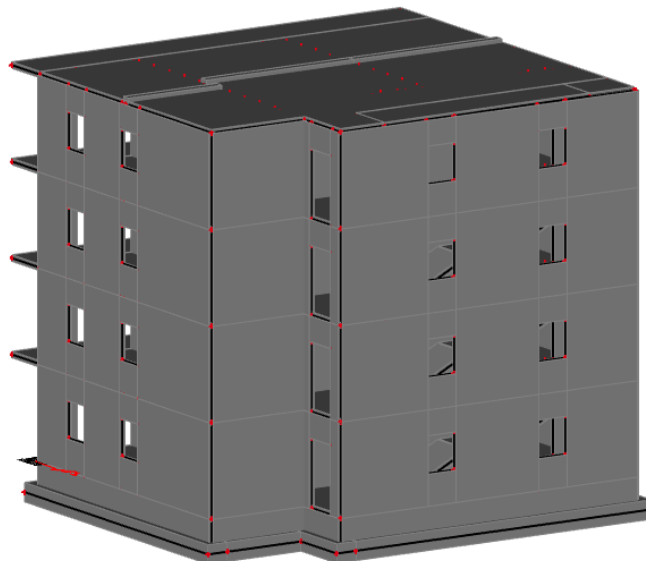
Ukoliko se nađe na kavernu veće dubine i manje širine, a nije moguće potpuno uklanjanje materijala, sanaciju izvesti tako da se materijal ukloni do dubine 50 cm ispod kote temeljenja, a nastali prostor do projektirane kote zapuni podbetonom.

Na osnovu rezultata geotehničkih istražnih radeva, dopuštena centrična naprezanja tla na detaljno očišćenim naslagama matične stijene uzeta su za osnovna opterećenja 310 kPa.

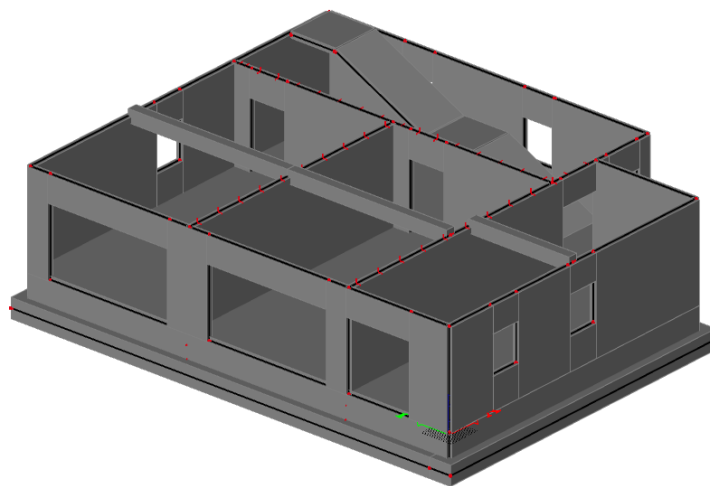
2. 3-D PRORAČUNSKI MODEL GRAĐEVINE



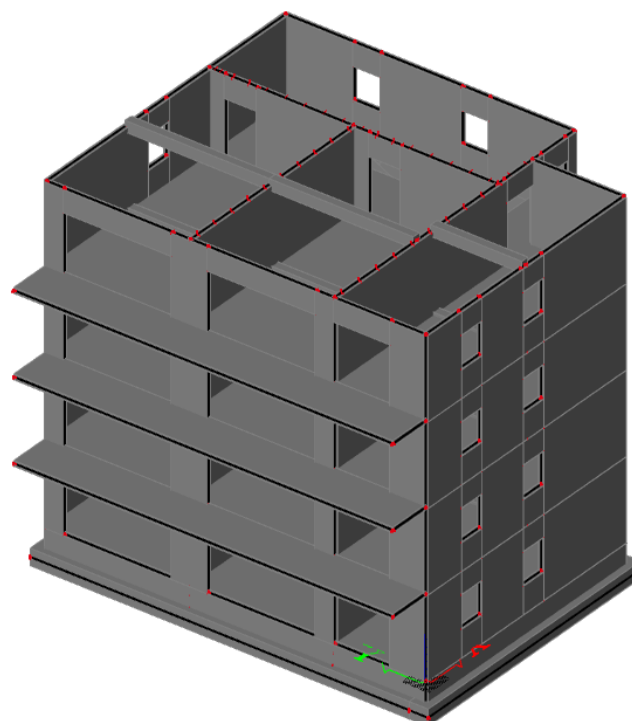
Slika 2.1 Proračunski model objekta – pogled 1



Slika 2.2 Proračunski model objekta – pogled 2



Slika 2.3 Proračunski model objekta – pogled 3



Slika 2.4 Proračunski model objekta – pogled 4

3. ANALIZA OPTEREĆENJA

3.1. Podaci o osnovnim djelovanjima

Osnovna opterećenja, na čiji utjecaj se dokazuje mehanička otpornost i stabilnost predmetne građevine, podijeljena su:

Oznaka osnovnog djelovanja	Opis djelovanja
G0	Stalno djelovanje – vlastita težina elemenata nosive konstrukcije
G1	Dodatno stalno djelovanje – ostalo stalno djelovanje; pokrov, obloga, stalna oprema itd.
Qi	Promjenjivo – uporabno djelovanje: uporabno opterećenje, pokretna oprema.

Tablica 3.1 Podaci o osnovnim djelovanjima

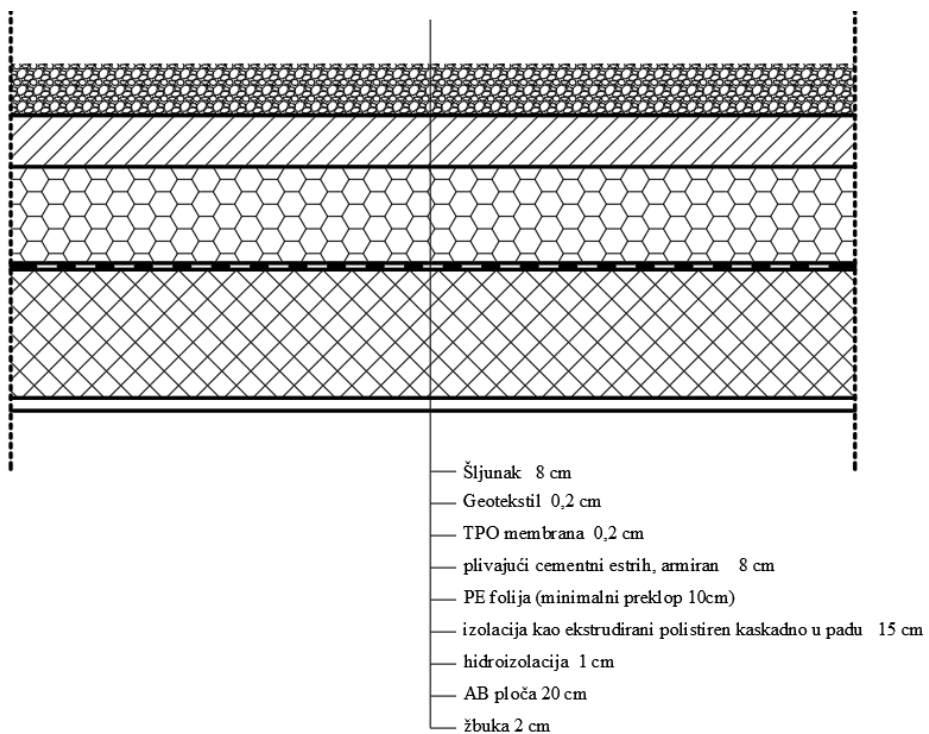
3.2. Stalno opterećenje (G_0)

3.2.1. Vlastita težina elemenata konstrukcije

Stalno opterećenje uključeno je u proračun prema sljedećem:

- Specifična težina armiranog betona iznosi $g = 25.0 \text{ kN/m}^3$.
- Stalno opterećenje od vlastite težine elemenata armirano betonske konstrukcije sadržano je u proračunskom modelu, sukladno dimenzijama poprečnih presjeka i zadanoj specifičnoj težini.

3.2.2. Krovna ploča

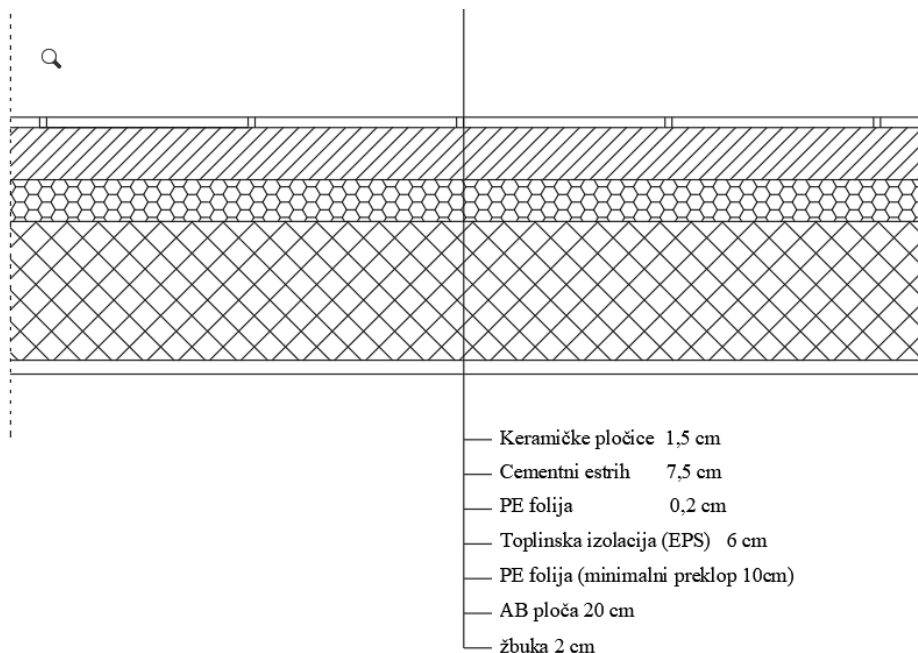


Tablica 3.2.1 Slojevi ravnog krova

Sloj:	Debljina sloja (m):	γ (kN/m ³)	$d \times \gamma$ (kN/m ²)
Šljunak	0,08	18,0	1,44
Geotekstil	0,002	-	-
TPO membrana	0,002	-	-
Cementni estrih	0,08	5,90	0,47
Toplinska izolacija(EPS)	0,15	1,50	0,23
Hidroizolacija	0,01	10,0	0,1
AB ploča	0,20	Uključena u proračunskom modelu	
Žbuka	0,02	22,0	0,44

Ukupno dodatno stalno opterećenje: $\Delta g = 2,68$ (kN/m²)

3.2.3. Međukatne ploče

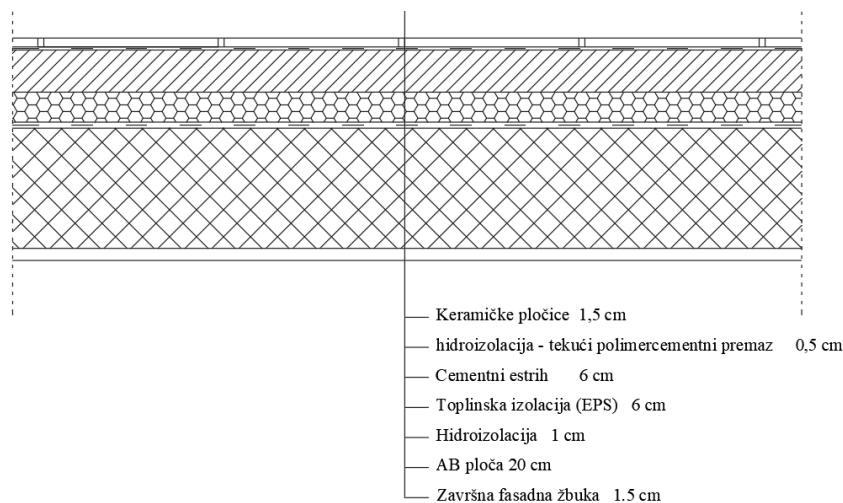


Tablica 3.2.2 Slojevi poda međukatnih konstrukcija

Sloj:	Debljina sloja (m):	γ (kN/m ³)	$d \times \gamma$ (kN/m ²)
Pregradni zidovi			0,5
Završna obrada	0,015	24,0	0,36
Cementni estrih	0,075	22,00	1,65
PE folija	-	-	-
Toplinska izolacija(EPS)	0,06	1,5	0,09
AB ploča	0,20	Uključeno u proračunskom modelu	
Žbuka	0,02	21,0	0,42
Instalacije	-	-	0,25

Ukupno dodatno stalno opterećenje: $\Delta g = 3,10$ (kN/m²)

3.2.4. Natkrivena terasa

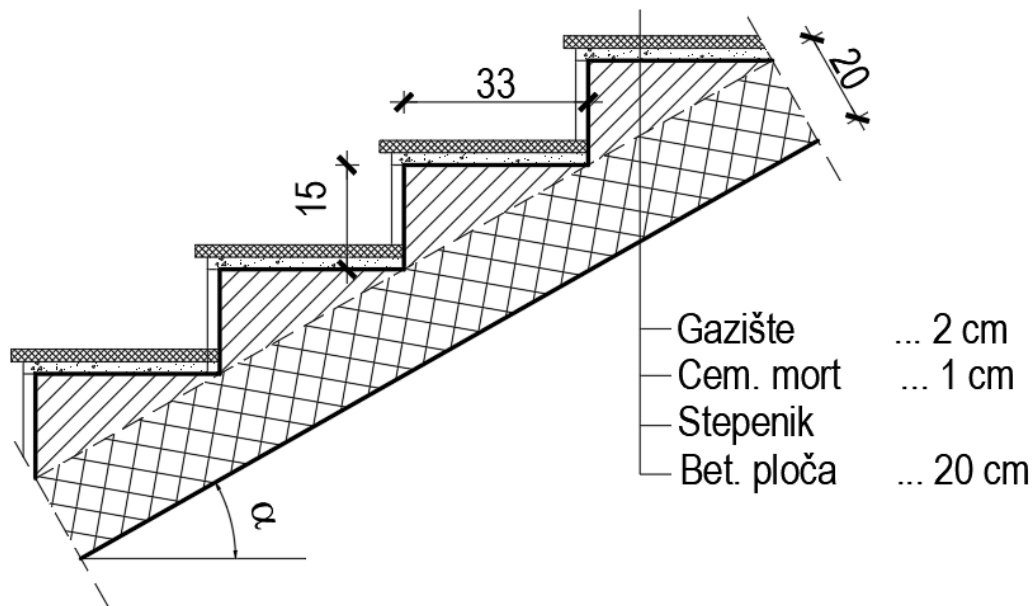


Tablica 3.2.3 Slojevi poda balkona

Sloj:	Debljina sloja (m):	γ (kN/m ³)	$d \times \gamma$ (kN/m ²)
Keramičke pločice u građevinskom ljepilu	0,015	24,00	0,27
hidroizolacija – tekući polimer cementni premaz	0,005	22,00	0,11
Cementni estrih	0,06	22,00	1,32
Termoizolacija(XPS)	0,06	1,5	0,09
hidroizolacija	0,01	10	0,10
AB ploča	0,20	Uključeno u proračunskom modelu	
Završna fasadna žbuka	0,015	15,00	0,23

Ukupno dodatno stalno opterećenje: $\Delta g = 2,12$ (kN/m²)

3.2.5. Stubište



Sloj:	Debljina sloja (m):	γ (kN/m ³)	$d \times \gamma$ (kN/m ²)
Završna obrada – kamena ploča	0,02	28,00	0,56
Cementni namaz	0,01	20,00	0,20
AB ploča	0,20	Uključeno u proračunskom modelu	
Stuba	0,075	24,00	1,80

Ukupno dodatno stalno opterećenje: $\Delta g = 2,56$ (kN/m²)

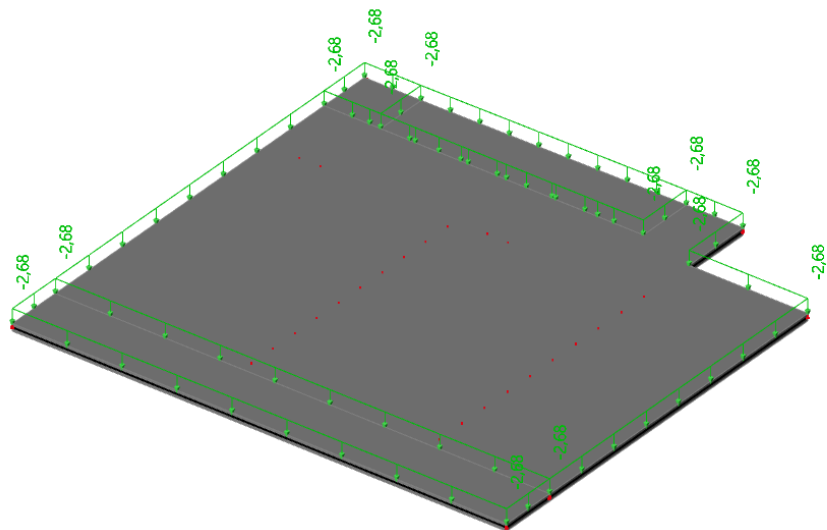
3.3. Promjenjivo opterećenje (Qi)

Minimalno korisno opterećenje za zgrade definirano je u EC1991-1-1. Ovo korisno (pokretno) opterećenje je najmanje koje se smije primjeniti na zgradama. Na zahtjev investitora ili pri procjeni projektanta smije se koristiti i veće opterećenje. Za potrebe proračuna, a prema EC1991-1-1 korištena su sljedeća opterećenja:

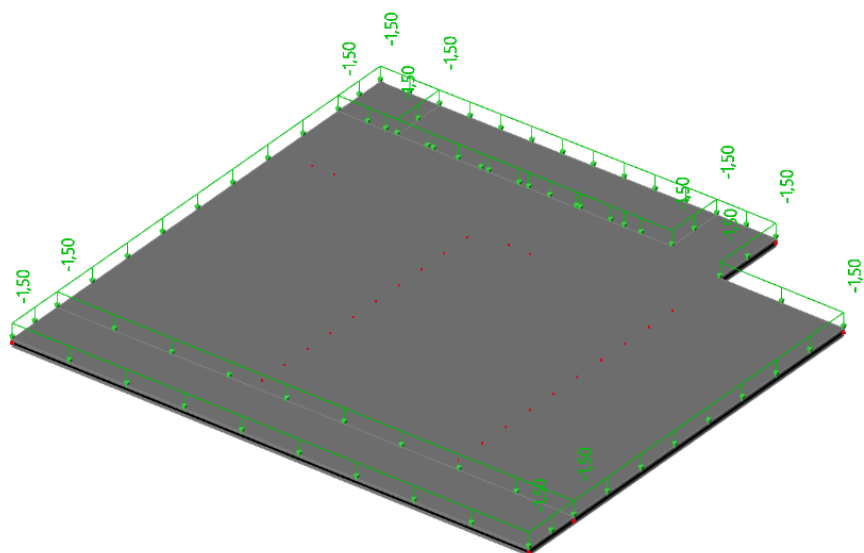
- Ravni krov: $q = 2,0$ kN/m²
- Uobičajne prostorije: $q = 2,0$ kN/m²
- Stubišta: $q = 3,0$ kN/m²
- Balkoni i lođe: $q = 4,0$ kN/m

4. PRIKAZ OSNOVNIH DJELOVANJA

4.1. Krovna ploča

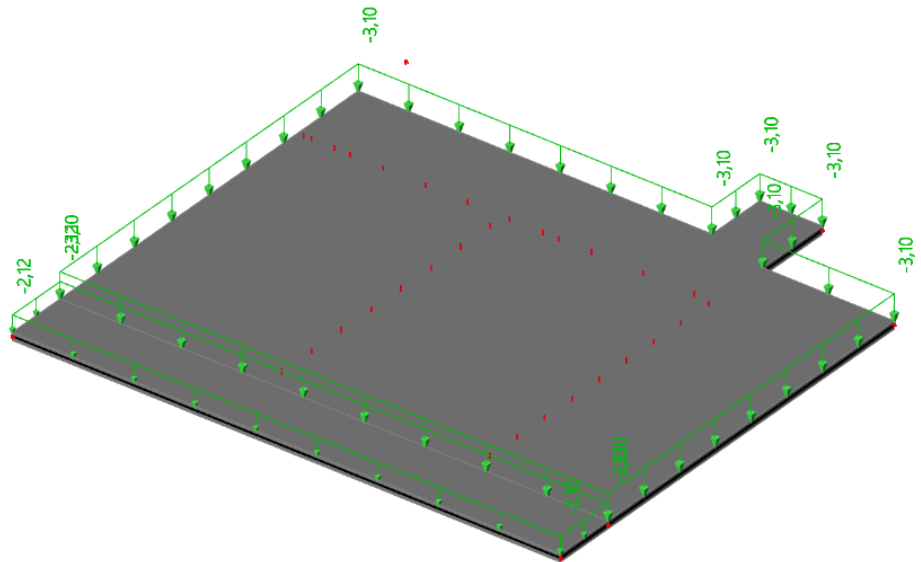


Slika 4.1.1 Dodatno stalno djelovanje $G1 [kN/m^2]$

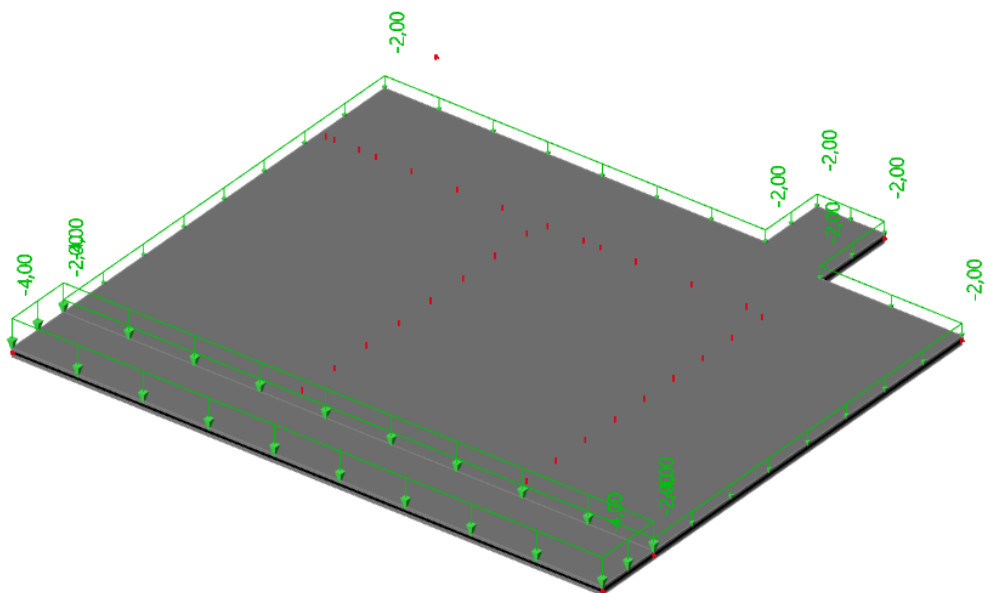


Slika 4.1.2 Promjenjivo djelovanje $Q [kN/m^2]$

4.2. Međukatna ploča



Slika 4.2.1 Dodatno stalno djelovanje $G1$ [kN/m^2]



Slika 4.2.2 Promjenjivo djelovanje Q [kN/m^2]

5. KOMBINACIJE DJELOVANJA

Za dokaz nosivosti elemenata konstrukcije predmetne građevine, djelovanja se kombiniraju za sljedeća granična stanja i iznose:

- **Granično stanje nosivosti**

GSN-1 $1.35*G + 1.5*Q_1$

G – vlastita težina + dodatno stalno djelovanje

**vlastita težina je uračunata u proračunskom modelu*

Q – uporabno djelovanje

GSN-1 $1.35*G + 1.5*Q_2$

G – vlastita težina + dodatno stalno djelovanje

**vlastita težina je uračunata u proračunskom modelu*

Q – uporabno djelovanje

- **Granično stanje uporabljivosti**

GSU-1 $1.0*G + 1.0*Q$

G – vlastita težina + dodatno stalno djelovanje

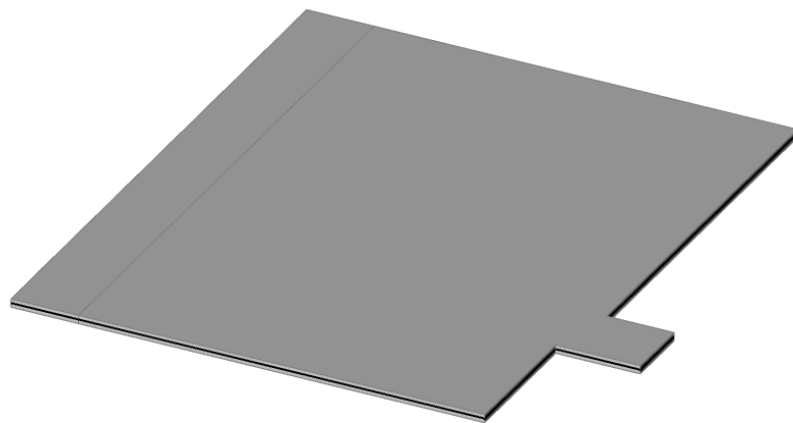
**vlastita težina je uračunata u proračunskom modelu*

Q – uporabno djelovanje

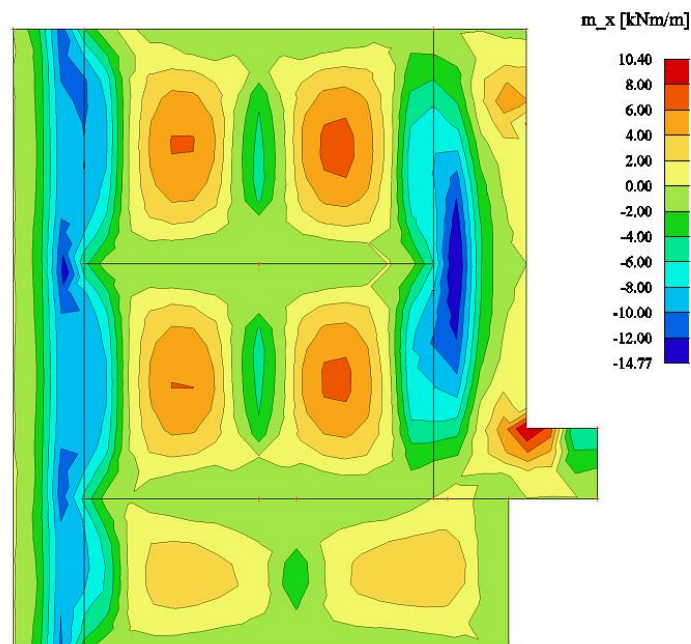
6. PRORAČUN PLOČA

6.1. Međukatna ploča

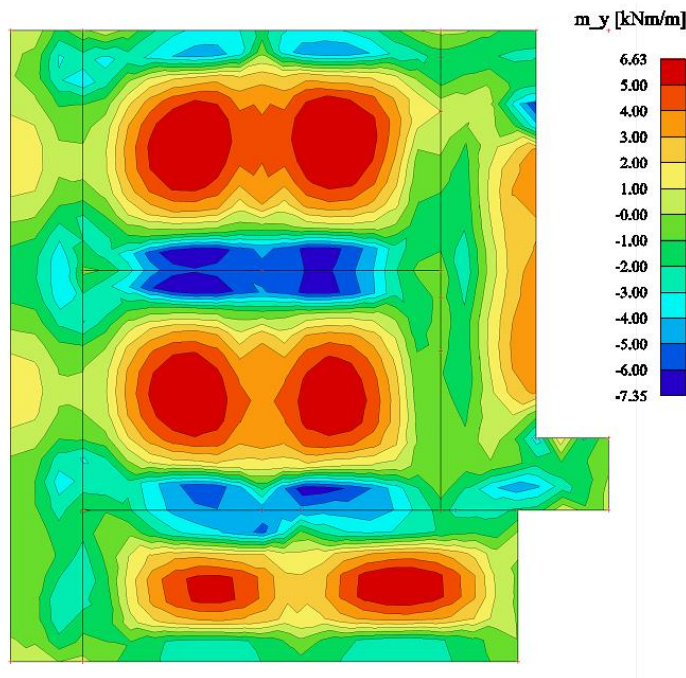
6.1.1. Prikaz modela i rezultata međukatne ploče



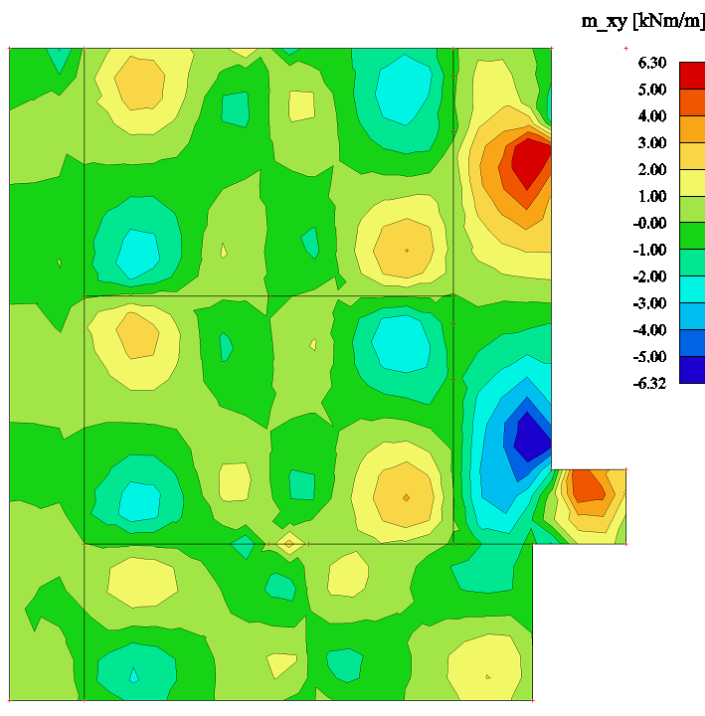
Slika 6.1 Prikaz modela ploče



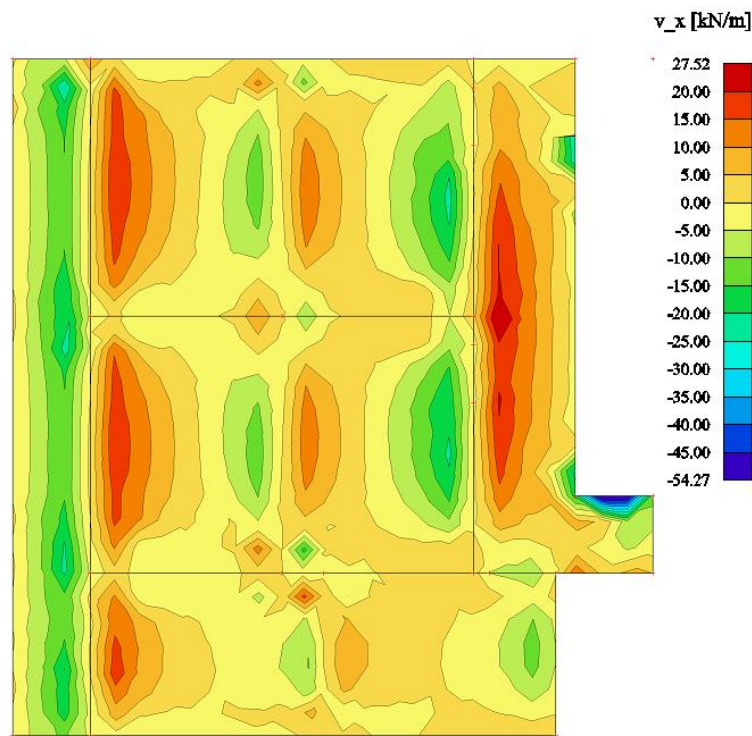
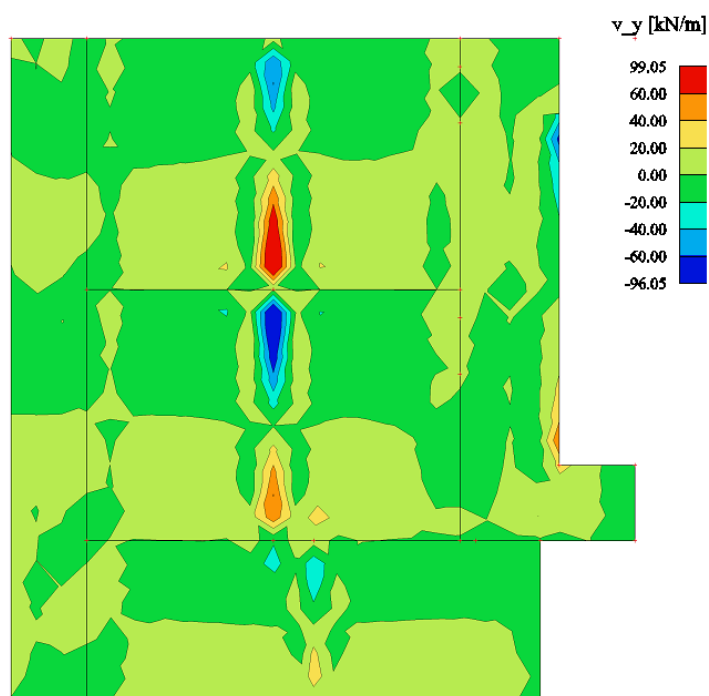
Slika 6.2 Moment savijanja $M_{Ed,x}$ (kNm/m) za GSN-I



Slika 6.3 Moment savijanja $M_{Ed,y}$ (kNm/m) za GSN-I



Slika 6.4 Moment savijanja $M_{Ed,xy}$ (kNm/m) za GSN-I

Slika 6.5 Poprečne sile $V_{Ed,x}$ (kN/m) za GSN-1Slika 6.6 Poprečne sile $V_{Ed,y}$ (kN/m) za GSN-1

Limitirajući moment:

$$M_{Rd,\text{lim}} = \mu_{sd,\text{lim}} \cdot b_w \cdot d^2 \cdot f_{cd} = 0.187 \cdot 1.0 \cdot 0.17^2 \cdot 16,67 \cdot 1000 = 90,1 \text{ kNm}$$

Minimalna i maksimalna armatura:

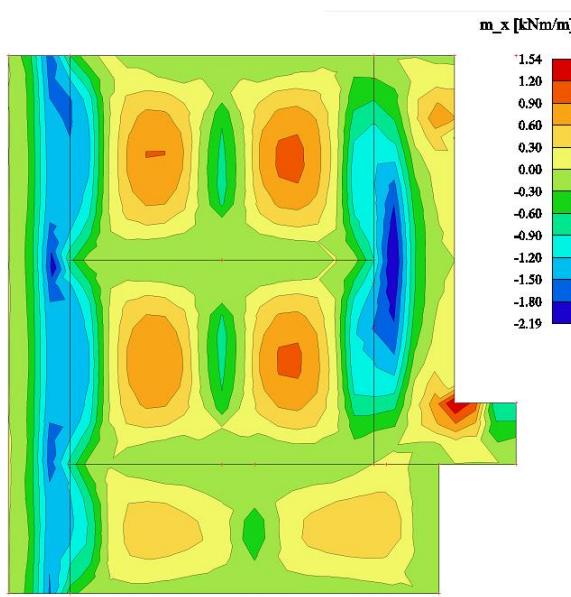
$$A_{s,\text{min}} = 0.0015 \cdot b \cdot d = 0.0015 \cdot 100 \cdot 17 = 2,55 \text{ cm}^2 / \text{m}$$

$$A_{s,\text{min}} = 0.06 \cdot b \cdot \frac{d}{f_{yk}} = 0.06 \cdot 100 \cdot \frac{17}{500} = 2,04 \text{ cm}^2 / \text{m}$$

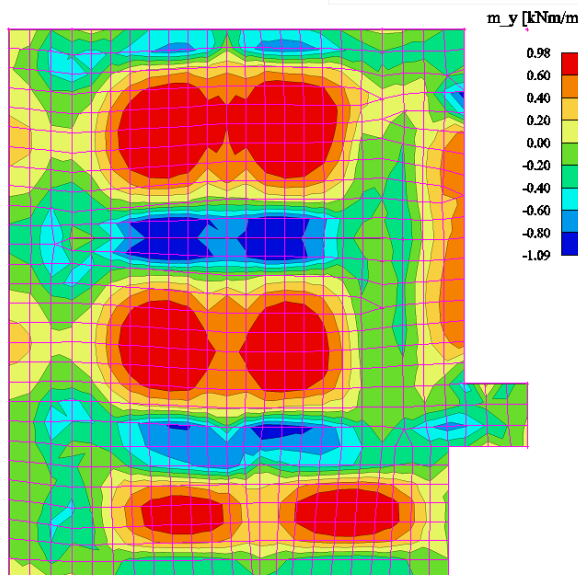
$$A_{s,\text{max}} = 0.31 \cdot b \cdot d \cdot \frac{f_{cd}}{f_{yd}} = 0.31 \cdot 100 \cdot 17 \cdot \frac{16,67}{434,8} = 20,21 \text{ cm}^2 / \text{m}$$

Za proračun armature usvaja se $\zeta \approx 0.9$, potrebna armatura :

$$A_{s1} = \frac{M_{Ed}}{\zeta \cdot d \cdot f_{yd}} = \frac{M_{Ed} \cdot 100}{0.9 \cdot 17 \cdot 43.48} = M_{Ed} \cdot 0.150$$



Slika 6.7 Potrebna površina armature $A_s(\text{cm}^2/\text{m})$ u x smjeru



Slika 6.8 Potrebna površina armature $A_s(\text{cm}^2/\text{m})$ u y smjeru

Napomena: Dobivenu armaturu zbog preraspodjele umanjiti za 15% nad ležajem i povećati za 30% u polju.

Potrebna armatura na ležaju u smjeru x: $A_s = 2.2 \times 0.85 = 1.87 \text{ cm}^2 / \text{m}'$

Potrebna armatura na ležaju u smjeru y: $A_s = 1.1 \times 0.85 = 0.94 \text{ cm}^2 / \text{m}'$

Potrebna armatura u polju: $A_s = 1.54 \times 1.30 = 2.00 \text{ cm}^2 / \text{m}'$

Odabrana armatura

Ležaj u smjeru x: R-196 ($1.96 \text{ cm}^2 / \text{m}'$)

Ležaj u smjeru y: R-196 ($1.96 \text{ cm}^2 / \text{m}'$)

Polje: Q-283 ($2.83 \text{ cm}^2 / \text{m}'$)

Računska nosivost na poprečnu silu bez poprečne armature :

$$V_{Rd,c} = [C_{Rdc} \cdot k \cdot (100 \cdot \rho_l \cdot f_{ck})^{1/3} + k_1 \cdot \vartheta_{cp}] \cdot b_w \cdot d$$

$$k = 1.0 + \sqrt{\frac{200}{d}} = 1.0 + \sqrt{\frac{200}{170}} = 2.08 \leq 2.0 \rightarrow k = 2.0$$

$$k_1 = 0.15$$

$$\vartheta_{cp} = \frac{N_{Ed}}{A_c} = 0.0$$

$$C_{Rdc} = \frac{0.18}{\gamma_c} = \frac{0.18}{1.5} = 0.12$$

$$\rho_l = \frac{\sum A_s}{A_c} = \frac{2.83}{17 \cdot 100} = 0.0017$$

$$V_{Rd,c} = [0.12 \cdot 2.0 \cdot (100 \cdot 0.0017 \cdot 25)^{1/3} + 0.15 \cdot 0.0] \cdot 1000 \cdot 170$$

$$V_{Rd,c} = 66.09 \text{ kN/m}$$

$$V_{Rd,c,min} = [v_{min} + k_1 \cdot \vartheta_{cp}] \cdot b_w \cdot d$$

$$k = 0.15$$

$$v_{min} = 0.035 \cdot k^{3/2} \cdot f_{ck}^{1/2} = 0.035 \cdot 2.0^{3/2} \cdot 25^{1/2} = 0.495$$

$$\vartheta_{cp} = \frac{N_{Ed}}{A_c} = 0.0$$

$$V_{Rd,c,min} = 0.495 \cdot 1000 \cdot 170 = 84.15 \text{ kN/m}$$

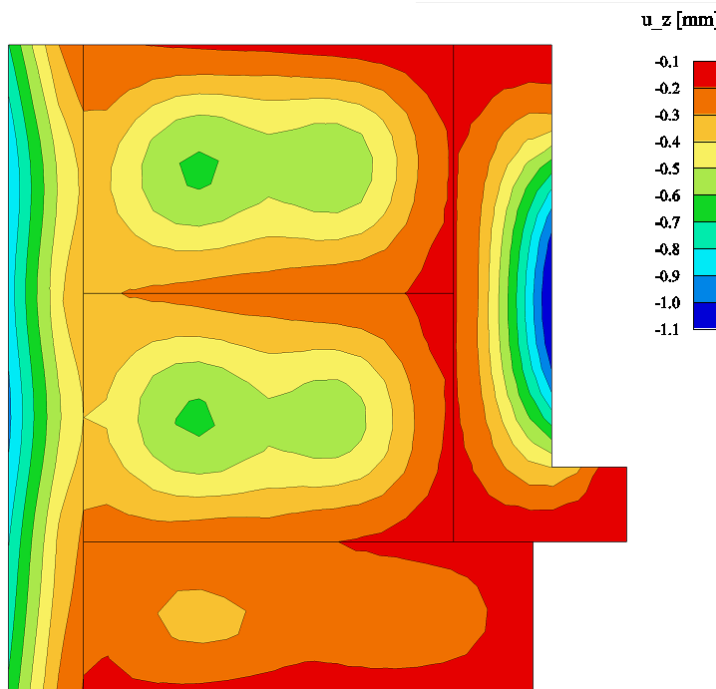
Uvjet je zadovoljen.

6.1.2. Kontrola progiba i pukotina međukatne ploče

S obzirom da je model građevine modeliran na temeljnom tlu realnih karakteristika cijela građevina će imate pomake određenih vrijednosti, pa tako i međukatne ploče. Zbog nemogućnosti prikazivanja relativnih pomaka ploča bit će prikazani ukupni pomaci ploča koji nisu mjerodavni za analizu.

Kako bismo dobili pomake koji će prikazati pravo ponašanje ploče od ukupnih pomaka oduzet ćemo translacijsku komponentu pomaka, te na taj način dobivamo deformacijsku komponentu pomaka koja će se analizirati.

6.1.3. Kontrola progiba međukatne ploče



Slika 6.9 Progib ploče (mm) za kombinaciju GSU-1

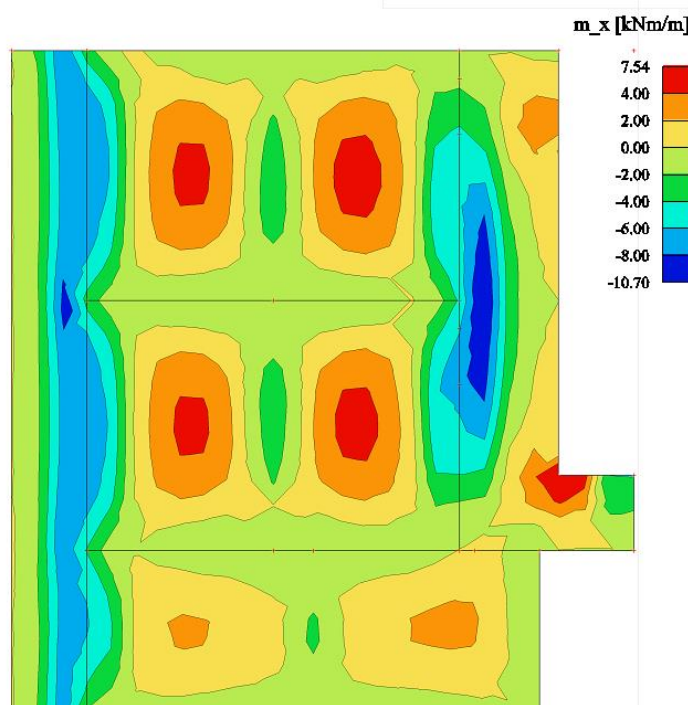
Najveći progib iznosa je 1.1 mm.

Dozvoljen progib $L/1000 = 2100/1000 = 2.1$ mm

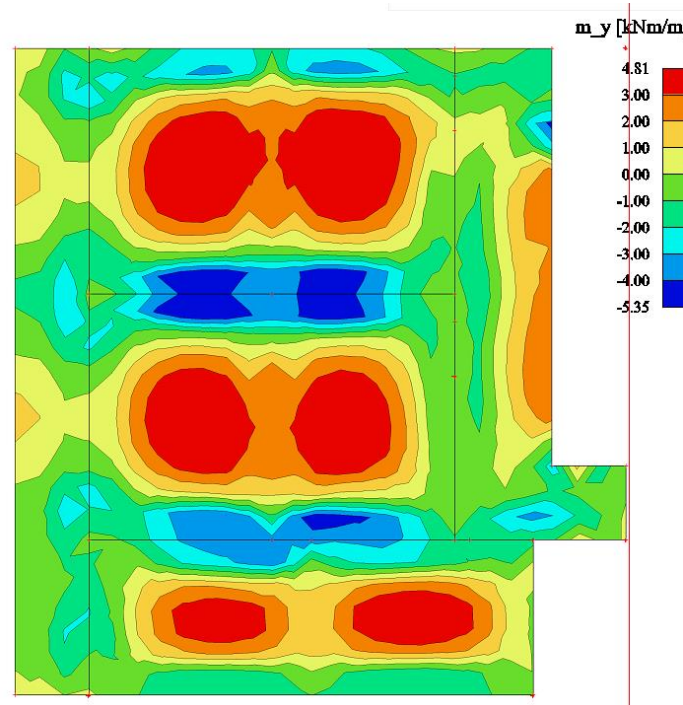
Međukatna ploča zadovoljava na progibe.

6.1.4. Kontrola pukotina

U priložena dva dijagrama odabire se najveći moment savijanja koji će biti mjerodavan izračunu širine pukotine.



Slika 6.11 Moment savijanja $M_{Ed,x}$ (kNm/m) za GSU-1



Slika 6.12 Moment savijanja $M_{Ed,y}$ (kNm/m) za GSU-1

Mjerodavni moment $M = 7.54 \text{ kNm/m}$

Prognozna širina pukotine:

$$w_k = s_{r,max} \cdot (\varepsilon_{sm} - \varepsilon_{cm})$$

Vrijednost $\varepsilon_{sm} - \varepsilon_{cm}$ određuje se prema izrazu :

$$\varepsilon_{sm} - \varepsilon_{cm} = \frac{\sigma_s - k_t \frac{f_{ct,eff}}{\rho_{p,eff}} (1 + \alpha_e \cdot \rho_{p,eff})}{E_s} \geq 0.6 \cdot \frac{\sigma_s}{E_s}$$

$$x = \frac{\alpha_{\varepsilon_1} \cdot A_{s1}}{b} \cdot \left(-1 + \sqrt{1 + \frac{2 \cdot b \cdot d}{\alpha_{\varepsilon_1} \cdot A_{s1}}} \right) = \frac{6.45 \cdot 2.83}{100} \cdot \left(-1 + \sqrt{1 + \frac{2 \cdot 100 \cdot 17}{6.45 \cdot 2.83}} \right)$$

$$= 2.32 \text{ cm}$$

$$\sigma_s = \frac{M_{Ed}}{z \cdot A_s} \approx \frac{M_{Ed}}{\left(d - \frac{x}{3}\right) \cdot A_s} = \frac{754}{\left(17 - \frac{2.67}{3}\right) \cdot 2.83} = 16.54 \frac{kN}{cm^2} = 165.4 MPa$$

Za C 25/30 $\rightarrow f_{ct,eff} = 2.6 \text{ MPa}$

$$A_{s1} = Q - 283 = 2.83 \text{ cm}^2$$

$E_{cm} = 31.0 \text{ GPa} = 31000 \text{ MPa}$ – modul elastičnosti betona

$E_s = 200.0 \text{ GPa} = 200000 \text{ MPa}$ – modul elastičnosti armature

$$\alpha_e = \frac{E_s}{E_{cm}} = \frac{200}{31} = 6.45$$
 – Odnos modula elastičnosti

Djelotvorni koeficijent armiranja glavnom vlačnom armaturom:

$$\rho_{p,eff} = \frac{A_s}{A_{c,eff}} = \frac{2.83}{100 \cdot 2.5 \cdot 3} = 0.0038$$

$$\varepsilon_{sm} - \varepsilon_{cm} = \frac{165.4 - 0.4 \frac{2.6}{0.0038} (1 + 6.45 \cdot 0.0038)}{200000} \geq 0.6 \cdot \frac{165.4}{200000}$$

$$-0.00057 \geq 0.00049$$

$$\varepsilon_{sm} - \varepsilon_{cm} = 0.00049$$

Srednji razmak pukotina:

$$s_{r,max} = k_3 \cdot c + k_1 \cdot k_2 \cdot k_4 \cdot \frac{\emptyset}{\rho_{p,eff}} [mm]$$

$\emptyset = 9.0 \text{ mm}$ –

$c = 30 \text{ mm}$ – Zaštitni sloj uzdužne armature

$k_1 = 0.8$ – Rebrasta armatura

$k_2 = 0.5$ – Savijanje

$k_3 = 3.4$

$k_4 = 0.425$

$$s_{r,max} = 3.4 \cdot 30 + 0.8 \cdot 0.5 \cdot 0.425 \cdot \frac{9}{0.0038} = 504.6 \text{ mm}$$

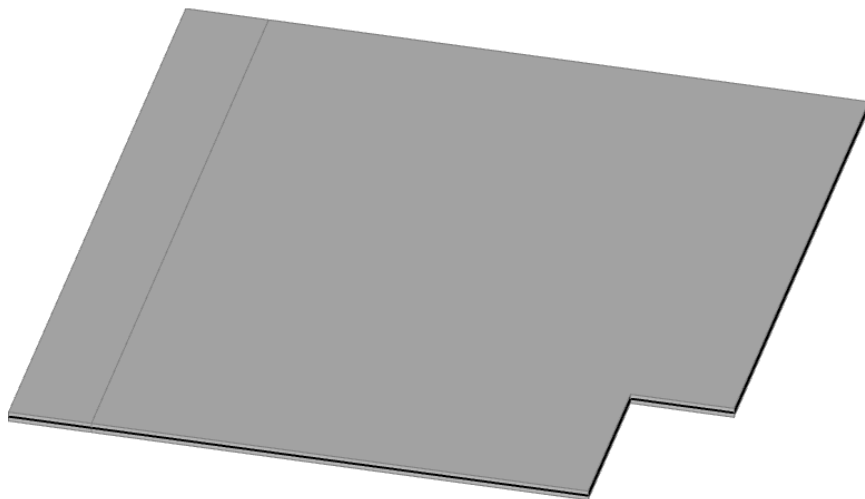
Karakteristična širina pukotina:

$$w_k = s_{r,max} \cdot (\varepsilon_{sm} - \varepsilon_{cm}) = 504.6 \cdot 0.00049 = 0.247 \text{ mm} < w_g = 0.3 \text{ mm}$$

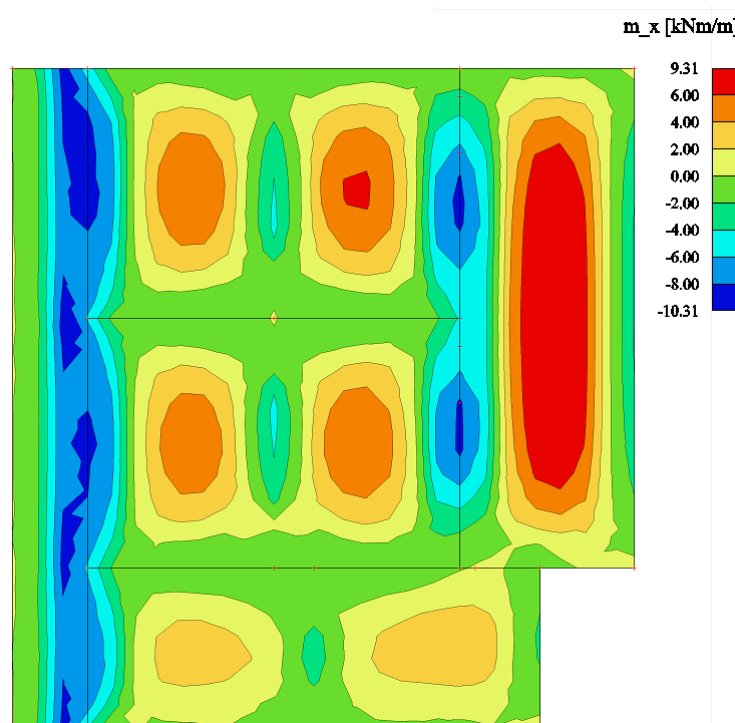
Pukotine zadovoljavaju!

6.2. Proračun krovne ploče

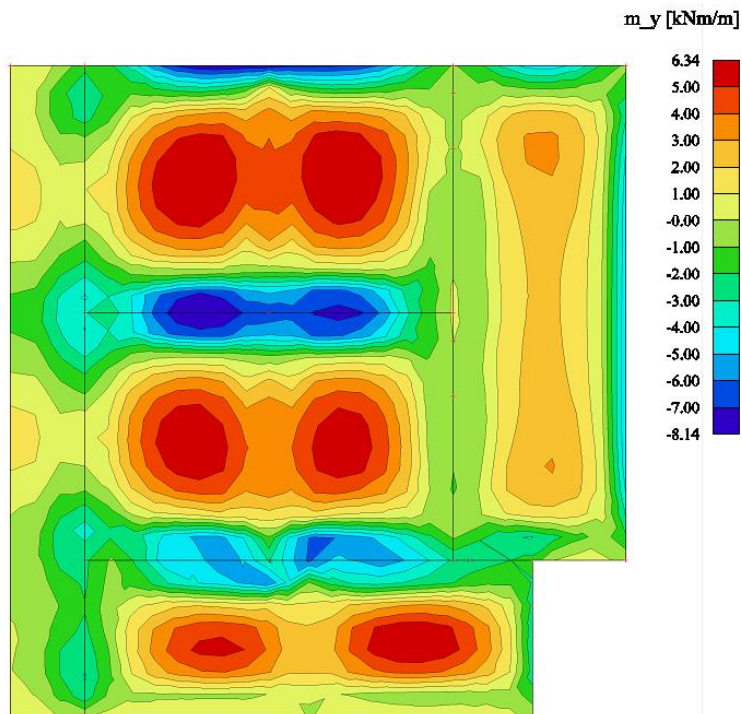
6.2.1. Prikaz modela i rezultata krovne ploče



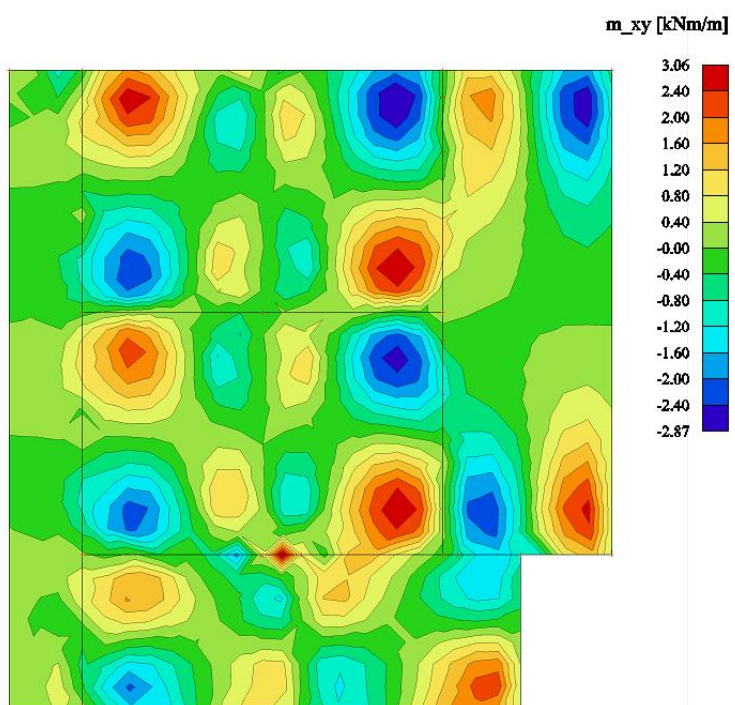
Slika 6.13 Prikaz modela



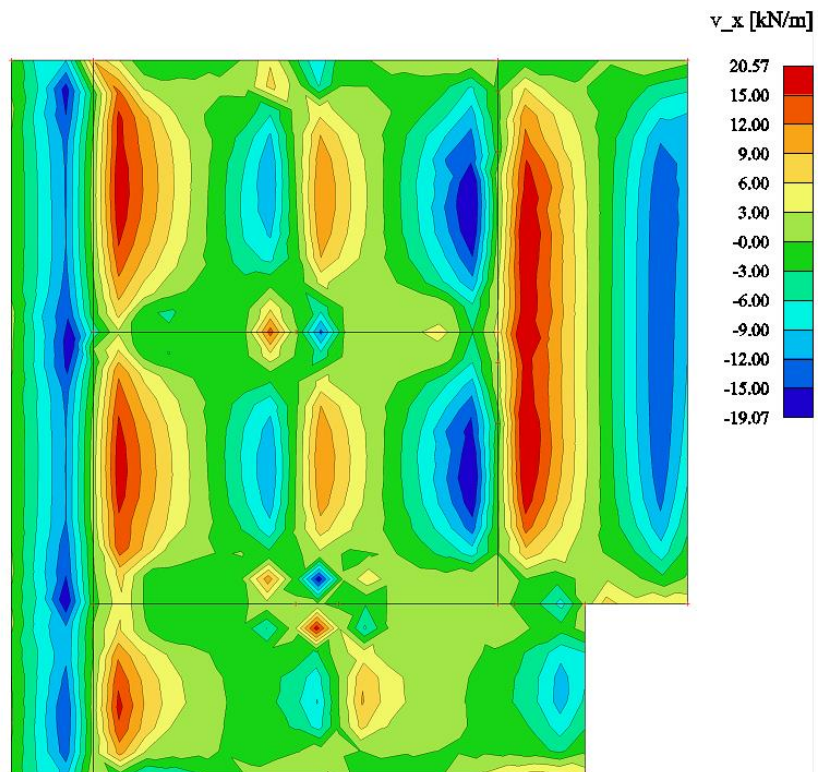
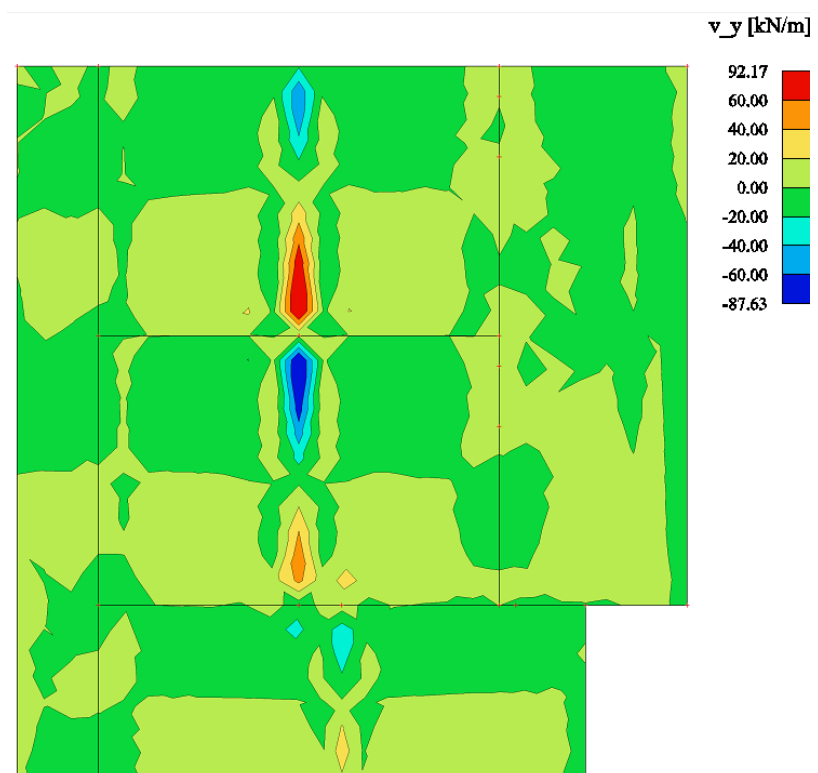
Slika 6.14 Moment savijanja $M_{Ed,x}$ (kNm/m) za GSN-1



Slika 6.15 Moment savijanja $M_{Ed,y}$ (kNm/m) za GSN-1



Slika 6.16 Moment savijanja $M_{Ed,xy}$ (kNm/m) za GSN-1

Slika 6.17 Poprečne sile $V_{Ed,x}$ (kN/m) za GSN-1Slika 6.18 Poprečne sile $V_{Ed,y}$ (kN/m) za GSN

Limitirajući moment:

$$M_{Rd,\text{lim}} = \mu_{sd,\text{lim}} \cdot b_w \cdot d^2 \cdot f_{cd} = 0.187 \cdot 1.0 \cdot 0.17^2 \cdot 16,67 \cdot 1000 = 90,1 \text{ kNm}$$

Minimalna i maksimalna armatura:

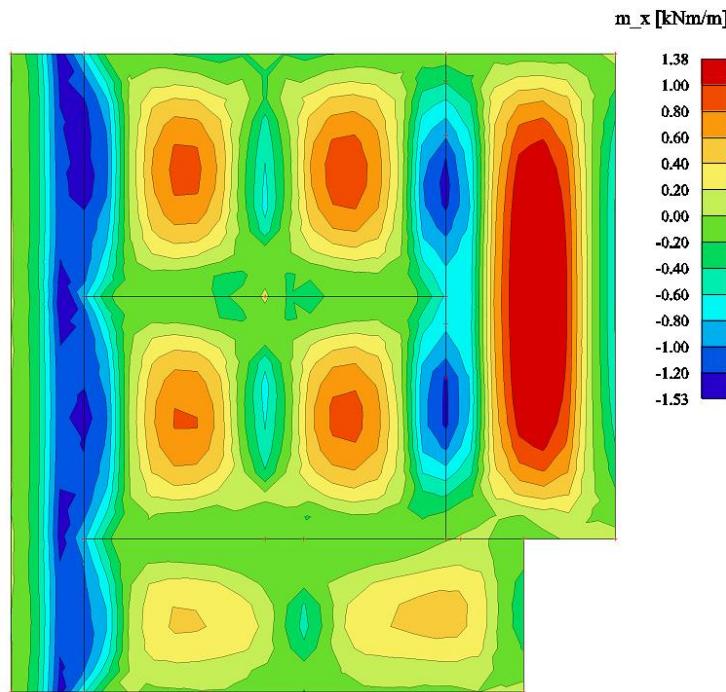
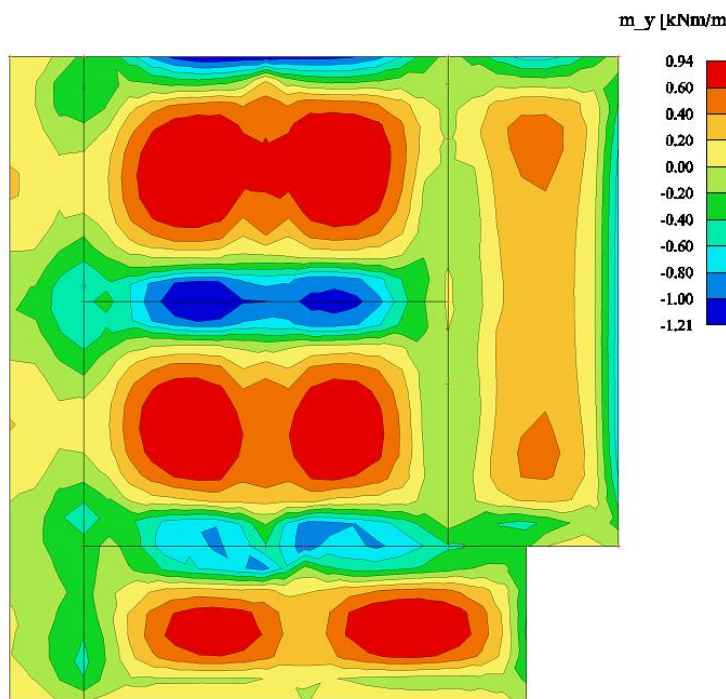
$$A_{s,\text{min}} = 0.0015 \cdot b \cdot d = 0.0015 \cdot 100 \cdot 17 = 2,55 \text{ cm}^2 / \text{m}$$

$$A_{s,\text{min}} = 0.06 \cdot b \cdot \frac{d}{f_{yk}} = 0.06 \cdot 100 \cdot \frac{17}{500} = 2,04 \text{ cm}^2 / \text{m}$$

$$A_{s,\text{max}} = 0.31 \cdot b \cdot d \cdot \frac{f_{cd}}{f_{yd}} = 0.31 \cdot 100 \cdot 17 \cdot \frac{16,67}{434,8} = 20,21 \text{ cm}^2 / \text{m}$$

Za proračun armature usvaja se $\zeta \approx 0.9$, potrebna armatura :

$$A_{s1} = \frac{M_{Ed}}{\zeta \cdot d \cdot f_{yd}} = \frac{M_{Ed} \cdot 100}{0.9 \cdot 17 \cdot 43.48} = M_{Ed} \cdot 0.150$$

Slika 6.19 Potrebna površina armature $A_s(cm^2/m)$ u x smjeruSlika 6.20 Potrebna površina armature $A_s(cm^2/m)$ u y smjeru

Napomena: Dobivenu armaturu zbog preraspodjele umanjiti za 15% nad ležajem i povećati za 30% u polju.

Potrebna armatura na ležaju u smjeru x: $A_s = 1.53 \times 0.85 = 1.3 \text{ cm}^2 / \text{m}'$

Potrebna armatura na ležaju u smjeru y: $A_s = 1.21 \times 0.85 = 1.03 \text{ cm}^2 / \text{m}'$

Potrebna armatura u polju: $A_s = 1.38 \times 1.30 = 1.8 \text{ cm}^2 / \text{m}'$

Odabrana armaturaLežaj u smjeru x: R-196 ($1.96 \text{ cm}^2/\text{m}'$)Ležaj u smjeru y: R-196 ($1.96 \text{ cm}^2/\text{m}'$)Polje: Q-283 ($2.83 \text{ cm}^2/\text{m}'$)

Računska nosivost na poprečnu silu bez poprečne armature :

$$V_{Rd,c} = [C_{Rdc} \cdot k \cdot (100 \cdot \rho_l \cdot f_{ck})^{1/3} + k_1 \cdot \vartheta_{cp}] \cdot b_w \cdot d$$

$$k = 1.0 + \sqrt{\frac{200}{d}} = 1.0 + \sqrt{\frac{200}{170}} = 2.08 \leq 2.0 \rightarrow k = 2.0$$

$$k_1 = 0.15$$

$$\vartheta_{cp} = \frac{N_{Ed}}{A_c} = 0.0$$

$$C_{Rdc} = \frac{0.18}{\gamma_c} = \frac{0.18}{1.5} = 0.12$$

$$\rho_l = \frac{\sum A_s}{A_c} = \frac{2.83}{17 \cdot 100} = 0.0017$$

$$V_{Rd,c} = [0.12 \cdot 2.0 \cdot (100 \cdot 0.0017 \cdot 25)^{1/3} + 0.15 \cdot 0.0] \cdot 1000 \cdot 170$$

$$V_{Rd,c} = 66.09 \text{ kN/m}$$

$$V_{Rd,c,min} = [v_{min} + k_1 \cdot \vartheta_{cp}] \cdot b_w \cdot d$$

$$k = 0.15$$

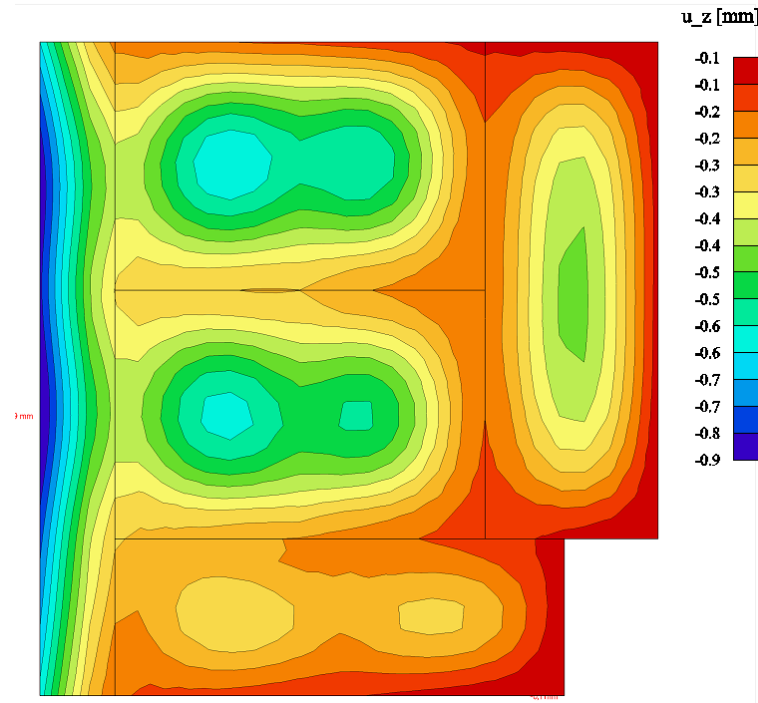
$$v_{min} = 0.035 \cdot k^{3/2} \cdot f_{ck}^{1/2} = 0.035 \cdot 2.0^{3/2} \cdot 25^{1/2} = 0.495$$

$$\vartheta_{cp} = \frac{N_{Ed}}{A_c} = 0.0$$

$$V_{Rd,c,min} = 0.495 \cdot 1000 \cdot 170 = 84.15 \text{ kN/m}$$

Uvjet je zadovoljen.

6.2.2. Kontrola progiba



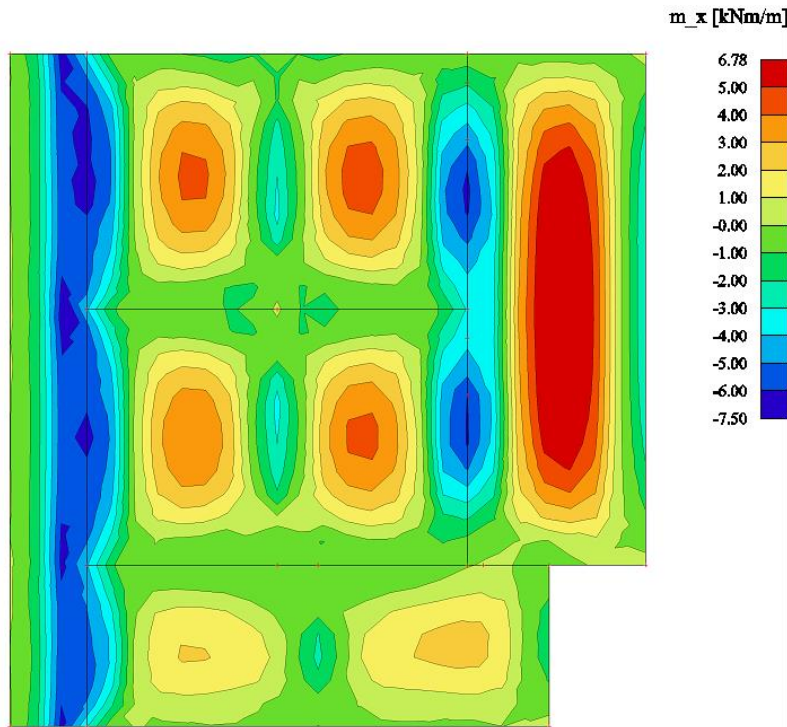
Slika 6.21 Progib ploče (mm) za kombinaciju GSU-1

Najveći progib iznosa je 0.9 mm.

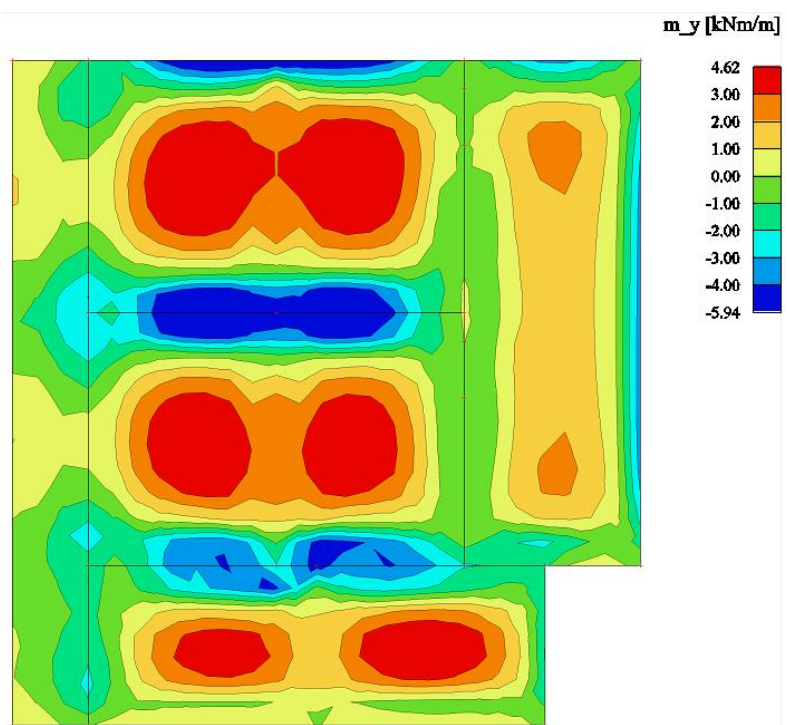
Dozvoljen progib $L/1000 = 1600/1000 = 1.6$ mm

Krovna ploča zadovoljava na progibe.

6.2.3. Kontrola pukotina



Slika 6.23 Moment savijanja $M_{Ed,x}$ (kNm/m) za GSU-1



Slika 6.24 Moment savijanja $M_{Ed,y}$ (kNm/m) za GSU-1

Mjerodavni moment $M = 6.78 \text{ kNm/m}$

Prognozna širina pukotine:

$$w_k = s_{r,max} \cdot (\varepsilon_{sm} - \varepsilon_{cm})$$

Vrijednost $\varepsilon_{sm} - \varepsilon_{cm}$ određuje se prema izrazu :

$$\varepsilon_{sm} - \varepsilon_{cm} = \frac{\sigma_s - k_t \frac{f_{ct,eff}}{\rho_{p,eff}} (1 + \alpha_e \cdot \rho_{p,eff})}{E_s} \geq 0.6 \cdot \frac{\sigma_s}{E_s}$$

$$x = \frac{\alpha_{\varepsilon 1} \cdot A_{s1}}{b} \cdot \left(-1 + \sqrt{1 + \frac{2 \cdot b \cdot d}{\alpha_{\varepsilon 1} \cdot A_{s1}}} \right) = \frac{6.45 \cdot 2.83}{100} \cdot \left(-1 + \sqrt{1 + \frac{2 \cdot 100 \cdot 17}{6.45 \cdot 2.83}} \right)$$

$$= 2.32 \text{ cm}$$

$$\sigma_s = \frac{M_{Ed}}{z \cdot A_s} \approx \frac{M_{Ed}}{(d - \frac{x}{3}) \cdot A_s} = \frac{678}{(17 - \frac{2.67}{3}) \cdot 2.83} = 14.87 \frac{kN}{cm^2} = 148.7 \text{ MPa}$$

Za C 25/30 $\rightarrow f_{ct,eff} = 2.6 \text{ MPa}$

$$A_{s1} = Q - 283 = 2.83 \text{ cm}^2$$

$E_{cm} = 31.0 \text{ GPa} = 31000 \text{ MPa}$ – modul elastičnosti betona

$E_s = 200.0 \text{ GPa} = 200000 \text{ MPa}$ – modul elastičnosti armature

$$\alpha_e = \frac{E_s}{E_{cm}} = \frac{200}{31} = 6.45$$
 – Odnos modula elastičnosti

Djelotvorni koeficijent armiranja glavnom vlačnom armaturom:

$$\rho_{p,eff} = \frac{A_s}{A_{c,eff}} = \frac{2.83}{100 \cdot 2.5 \cdot 3} = 0.0038$$

$$\varepsilon_{sm} - \varepsilon_{cm} = \frac{148.7 - 0.4 \frac{2.6}{0.0038} (1 + 6.45 \cdot 0.0038)}{200000} \geq 0.6 \cdot \frac{148.7}{200000}$$

$$-0.00066 \geq 0.00044$$

$$\varepsilon_{sm} - \varepsilon_{cm} = 0.00044$$

Srednji razmak pukotina:

$$s_{r,max} = k_3 \cdot c + k_1 \cdot k_2 \cdot k_4 \cdot \frac{\emptyset}{\rho_{p,eff}} [mm]$$

$\emptyset = 9.0 \text{ mm}$ –

$c = 30 \text{ mm}$ – Zaštitni sloj uzdužne armature

$k_1 = 0.8$ – Rebrasta armatura

$k_2 = 0.5$ – Savijanje

$k_3 = 3.4$

$k_4 = 0.425$

$$s_{r,max} = 3.4 \cdot 30 + 0.8 \cdot 0.5 \cdot 0.425 \cdot \frac{9}{0.0038} = 504.6 \text{ mm}$$

Karakteristična širina pukotina:

$$w_k = s_{r,max} \cdot (\varepsilon_{sm} - \varepsilon_{cm}) = 504.6 \cdot 0.00044 = 0.222 \text{ mm} < w_g = 0.3 \text{ mm}$$

Pukotine zadovoljavaju!

7. PRORAČUN AB GREDA

Limitirajući moment:

$$M_{Rd,lim} = \mu_{sd,lim} \cdot b_w \cdot d^2 \cdot f_{cd} = 0.187 \cdot 0.3 \cdot 0.47^2 \cdot 16.67 \cdot 1000 = 206.58 \text{ kNm}$$

Minimalna i maksimalna armatura za grede:

$$A_{s,min}^{polje} = 0.0015 \cdot b_w \cdot d = 0.0015 \cdot 30 \cdot 47 = 2.12 \text{ cm}^2$$

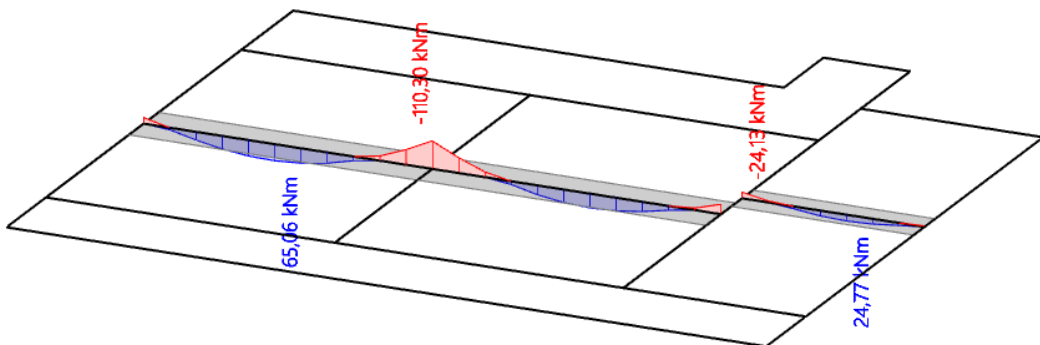
$$A_{s,min}^{ležaj} = 0.0015 \cdot b_{eff} \cdot d = 0.0015 \cdot 120 \cdot 47 = 8.46 \text{ cm}^2$$

$$A_{s,max}^{polje} = 0.31 \cdot b_w \cdot d \cdot \frac{f_{cd}}{f_{yd}} = 0.31 \cdot 30 \cdot 47 \cdot \frac{16.67}{434.78} = 16.76 \text{ cm}^2$$

$$A_{s,max}^{ležaj} = 0.85 \cdot b_{eff} \cdot h_f \cdot \frac{f_{cd}}{f_{yd}} = 0.85 \cdot 120 \cdot 50 \cdot \frac{16.67}{434.78} = 195.54 \text{ cm}^2$$

7.1. Međukatna greda

7.1.1. Prikaz rezultata proračuna



Slika 7.1 Moment savijanja $M_{Ed,y}$ (kNm/m) za GSN

Napomena: Predraspodjela momenta savijanja u gredama, moment u polju povećati za 30%, a moment nad ležajem smanjiti za 15%.

$$M_{max}^{polje} = 65.06 \cdot 1.30 = 84.58 \text{ kNm}$$

$$M_{max}^{ležaj} = 110.3 \cdot 0.85 = 93.76 \text{ kNm}$$

7.1.2. Dimenzioniranje na moment savijanja

Polje:

$$\text{Utjecajna širina: } b_{eff} = b_0 + \frac{l_0}{5} \leq e \rightarrow b_{eff} = 30 + \frac{0.85 \cdot 532}{5} = 120 \text{ cm}$$

$$M_{Ed} = 84.58 \text{ kNm}$$

$$\mu_{sd} = \frac{M_{Ed}}{b_{eff} \cdot d^2 \cdot f_{cd}} = \frac{84.58 \cdot 100}{120 \cdot 47^2 \cdot 16.67} = 0.0019$$

$$\text{Očitano: } \varepsilon_{s1} = 10.0\% \quad \varepsilon_{c2} = 0.4 \quad \xi = 0.038 \quad \zeta = 0.987$$

$$x = \xi \cdot d = 0.038 \cdot 47 = 1.79 \text{ cm} < h_{pl}$$

$$A_{s1} = \frac{M_{Ed}}{\zeta \cdot d \cdot f_{yd}} = \frac{84.58 \cdot 100}{0.987 \cdot 47 \cdot 43.48} = 4,2 \text{ cm}^2$$

$$\text{Odabrano } 2\varnothing 18 (\text{A}_s = 5.1 \text{ cm}^2)$$

Ležaj:

$$M_{Ed} = 93.76 \text{ kNm}$$

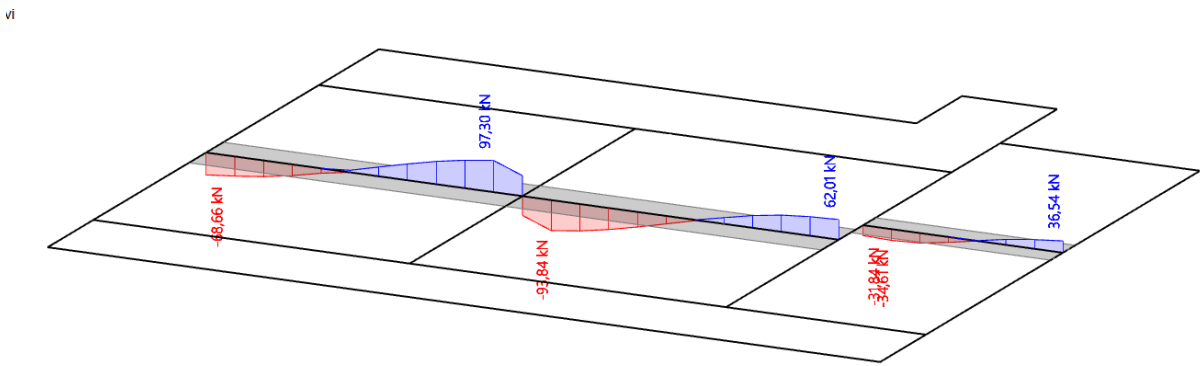
$$\mu_{sd} = \frac{M_{Ed}}{b_w \cdot d^2 \cdot f_{cd}} = \frac{93.76 \cdot 100}{30 \cdot 47^2 \cdot 16.67} = 0.0085$$

$$\text{Očitano: } \varepsilon_{s1} = 10.0\% \quad \varepsilon_{c2} = 0.6\% \quad \xi = 0.057 \quad \zeta = 0.981$$

$$A_{s1} = \frac{M_{Ed}}{\zeta \cdot d \cdot f_{yd}} = \frac{93.76 \cdot 100}{0.981 \cdot 47 \cdot 43.48} = 4.7 \text{ cm}^2$$

$$\text{Odabrano } 2\varnothing 18 (\text{A}_s = 5.1 \text{ cm}^2)$$

7.1.3. Dimenzioniranje na poprečnu silu



Slika 7.2 Poprečne sile $V_{Ed,z}$ (kN/m) za GSN

$$V_{Ed} = 97.3 \text{ kN}$$

$$V_{Rd,c} = [C_{Rdc} \cdot k \cdot (100 \cdot \rho_l \cdot f_{ck})^{1/3} + k_1 \cdot \vartheta_{cp}] \cdot b_w \cdot d$$

$$k = 1.0 + \sqrt{\frac{200}{d}} = 1.0 + \sqrt{\frac{200}{470}} = 1.65 \leq 2.0 \rightarrow k = 1.65$$

$$k = 0.15$$

$$\vartheta_{cp} = \frac{N_{Ed}}{A_c} = 0.0$$

$$C_{Rdc} = \frac{0.18}{\gamma_c} = \frac{0.18}{1.5} = 0.12$$

$$\rho_l = \frac{\sum A_s}{A_c} = \frac{5.1}{40 \cdot 50} = 0.0026$$

$$V_{Rd,c} = [0.12 \cdot 1.65 \cdot (100 \cdot 0.0026 \cdot 25)^{1/3} + 0.15 \cdot 0.0] \cdot 300 \cdot 470$$

$$V_{Rd,c} = 52.2 \text{ kN/m}$$

$V_{Rd,c}$ mora biti veći od:

$$\begin{aligned}
 V_{Rd,c} &\geq [v_{min} + k_1 \cdot \sigma_{cp}] \cdot b_w \cdot d \\
 k &= 0.15 \\
 v_{min} &= 0.035 \cdot k^{3/2} \cdot f_{ck}^{1/2} = 0.035 \cdot 1.65^{3/2} \cdot 25^{1/2} = 0.370 \\
 \sigma_{cp} &= \frac{N_{Ed}}{A_c} = 0.0 \\
 V_{Rd,c} &\geq 0.370 \cdot 300 \cdot 470 = 52.1 \text{ kN/m} \\
 \text{Uvjet je zadovoljen.}
 \end{aligned}$$

$V_{Ed,max} = V_{Ed} = 97.3 \text{ kN}$

$$\begin{aligned}
 V_{Rd,max} &= 0.5 \cdot v \cdot b_w \cdot d \cdot f_{cd} \\
 v &= 0.6 \left[1.0 - \frac{f_{ck}}{250} \right] = 0.6 \left[1.0 - \frac{25}{250} \right] = 0.54 \\
 V_{Rd,max} &= 0.5 \cdot 0.54 \cdot 300 \cdot 470 \cdot 16.67 = 634.63 > V_{Ed,max} = V_{Ed} \\
 \frac{V_{Ed,max}}{V_{Rd,max}} &= \frac{93.84}{634.63} \approx 0.15 \rightarrow V_{Ed} = 0.2 V_{Rd,max} \\
 s_{max} &= \min\{0.75 \cdot d ; 30.0 \text{ cm}\} = \\
 &\quad \min\{0.75 \cdot 47 = 35.25; 30.0\} \rightarrow s_{max} = 30.0 \text{ cm} \\
 \rho_{min} &= 0.0009
 \end{aligned}$$

Potrebna računska armatura!

$$A_{sw,min} = \frac{\rho_{min} \cdot s_w \cdot b_w}{m} = \frac{0.0009 \cdot 30.00 \cdot 30.00}{2} = 0.41 \text{ cm}^2$$

Odarane minimalne spone: $\emptyset 10/30$ ($A_{sw} = 0.79 \text{ cm}^2$)

$$\begin{aligned}
 f_{ywd} &= \frac{f_{yk}}{\gamma_s}; B 500B \rightarrow f_{ywd} = \frac{500}{1.15} = 434.8 \text{ MPa} = 43.48 \text{ kN/cm}^2 \\
 V_{Rd} &= V_{Rd,s} = \frac{A_{sw}}{s} \cdot z \cdot f_{ywd} \cdot m \cdot ctg\theta \\
 V_{Rd,s} &= \frac{0.79}{30} \cdot (0.9 \cdot 47) \cdot 43.48 \cdot 2 = 96.69 \text{ kN}
 \end{aligned}$$

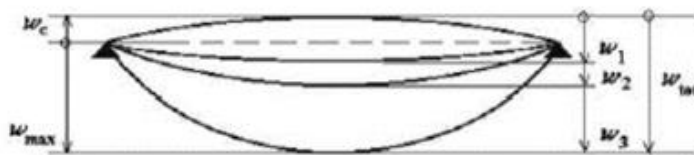
$$V_{Ed} > V_{Rd}$$

Na mjestu maksimalne poprečne sile:

$$s_w \leq \frac{m \cdot A_{sw} \cdot f_{ywd} \cdot z}{V_{Ed}} = \frac{2 \cdot 0.79 \cdot 43.48 \cdot (0.9 \cdot 47)}{97.3} = 29.8 \text{ cm}$$

Postaviti spone $\emptyset 10/30$ ($A_{sw} = 0.79 \text{ cm}^2$)

7.1.4. Kontrola progiba



Slika 7.3 Prikaz progiba grede

w_c – nadvišenje neopterećenog konstruktivnog elementa

w_1 – početni progib od stalnog opterećenja

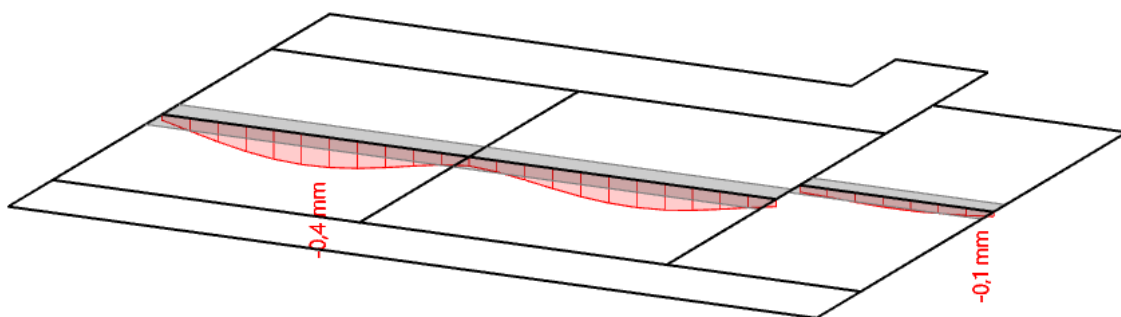
w_2 – dugotrajni progib od stalnog opterećenja

w_3 – progib od promjenjivog opterećenja

w_{\max} – ukupni progib

Konstrukcija	w_{\max}	$w_2 + w_3$
Krovišta	L/200	L/250
Prohodna krovišta	L/250	L/300
Stropovi	L/250	L/300
Stropovi/krovovi sa žbukom ili drugim krhkim završnim slojevima ili nesavitljivim pregradama	L/300	L/350
Stropovi koje podupiru stupovi (osim ako je progib uzet u sklopu proračuna za granično stanje nosivosti)	L/400	L/500
Kada w_{\max} može narušiti izgled zgrade	L/250	-

Tablica 7.1 Ograničenje vertikalnih progiba za karakterističnu kombinaciju



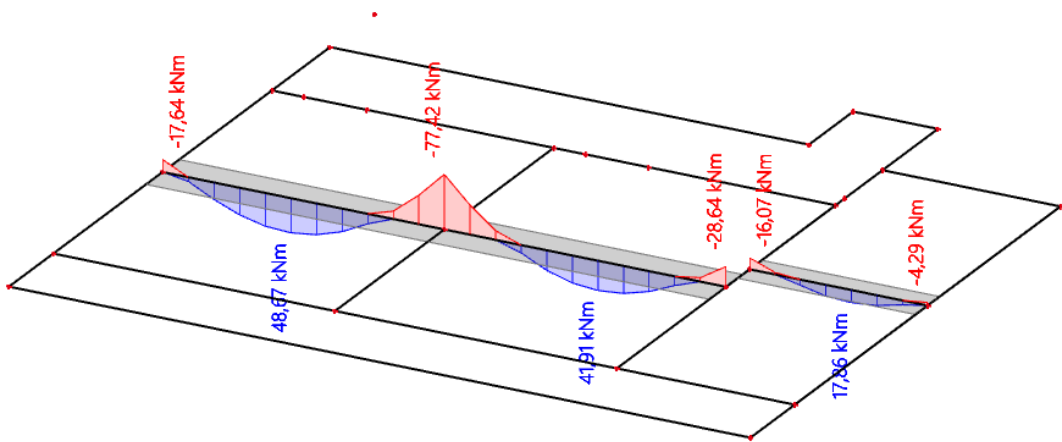
Slika 7.4 Progib grede (mm) za kombinaciju GSU-1

Najveći progib iznosa je 0.4 mm.

Dozvoljen progib $L/1000 = 5320/1000 = 5.32$ mm.

Međukatna greda zadovoljava na progibe.

7.1.5. Kontrola pukotina



Slika 7.5 Moment savijanja $M_{Ed,y}$ (kNm/m) za GSU

$$M_{\max} = 77.42 \text{ kNm}$$

Prognozna širina pukotine:

$$w_k = s_{r,max} \cdot (\varepsilon_{sm} - \varepsilon_{cm})$$

Vrijednost $\varepsilon_{sm} - \varepsilon_{cm}$ određuje se prema izrazu :

$$\varepsilon_{sm} - \varepsilon_{cm} = \frac{\sigma_s - k_t \frac{f_{ct,eff}}{\rho_{p,eff}} (1 + \alpha_e \cdot \rho_{p,eff})}{E_s} \geq 0.6 \cdot \frac{\sigma_s}{E_s}$$

$$x = \frac{\alpha_{\varepsilon_1} \cdot A_{s1}}{b} \cdot \left(-1 + \sqrt{1 + \frac{2 \cdot b \cdot d}{\alpha_{\varepsilon_1} \cdot A_{s1}}} \right) = \frac{6.45 \cdot 10.18}{30} \cdot \left(-1 + \sqrt{1 + \frac{2 \cdot 30 \cdot 47}{6.45 \cdot 10.18}} \right)$$

$$= 12.32 \text{ cm}$$

$$\sigma_s = \frac{M_{Ed}}{z \cdot A_s} \approx \frac{M_{Ed}}{\left(d - \frac{x}{3}\right) \cdot A_s} = \frac{7742}{\left(47 - \frac{12.32}{3}\right) \cdot 10.18} = 17.73 \frac{kN}{cm^2} = 1.77 MPa$$

Za C 25/30 $\rightarrow f_{ct,eff} = 2.2 \text{ MPa}$

$$A_{s1} = 4\varnothing 18 \quad (A_s = 10.18 \text{ cm}^2)$$

$E_{cm} = 31.0 \text{ GPa} = 31000 \text{ MPa}$ – modul elastičnosti betona

$E_s = 200.0 \text{ GPa} = 200000 \text{ MPa}$ – modul elastičnosti armature

$$\alpha_e = \frac{E_s}{E_{cm}} = \frac{200}{31} = 6.45 \quad \text{– Odnos modula elastičnosti}$$

Djelotvorni koeficijent armiranja glavnom vlačnom armaturom:

$$\rho_{p,eff} = \frac{A_s}{A_{c,eff}} = \frac{10.18}{30 \cdot (2.5 \cdot 3)} = 0.045$$

$$\varepsilon_{sm} - \varepsilon_{cm} = \frac{1.77 - 0.4 \frac{2.2}{0.045} (1 + 10.18 \cdot 0.045)}{200000} \geq 0.6 \cdot \frac{1.77}{200000}$$

$$-0.00013 \geq 0.000005$$

$$\varepsilon_{sm} - \varepsilon_{cm} = 0.000005$$

Srednji razmak pukotina:

$$s_{r,max} = k_3 \cdot c + k_1 \cdot k_2 \cdot k_4 \cdot \frac{\emptyset}{\rho_{p,eff}} [mm]$$

$$\emptyset = 18.0 \text{ mm}$$

c = 30 mm – Zaštitni sloj uzdužne armature

k₁ = 0.8 – Rebrasta armatura

k₂ = 0.5 – Savijanje

k₃ = 3.4

k₄ = 0.425

$$s_{r,max} = 3.4 \cdot 30 + 0.8 \cdot 0.5 \cdot 0.425 \cdot \frac{18}{0.045} = 170 \text{ mm}$$

Karakteristična širina pukotina:

$$w_k = s_{r,max} \cdot (\varepsilon_{sm} - \varepsilon_{cm}) = 170 \cdot 0.000005 = 0.0008 \text{ mm} < w_g = 0.3 \text{ mm}$$

Pukotine zadovoljavaju!

8. PRORAČUN ZIDOVA

8.1. Opći uvjeti

- Minimalna debljina: $b_{wo} \geq \max \{0.15 \text{ m}, h_s/20\}$, ($h_s \Rightarrow$ svijetla katna visina)
 $h_s = 2.8 \text{ m}$
 $b_w = 0.2 \text{ m} > 0.15 \text{ m}$
- Ograničenje naprezanja u betonu (GSU), radi drobljenja samog betona je:
 $\sigma_2 \leq 0.45 * f_{ck}$, ($\sigma_2 \Rightarrow$ tlačno naprezanje)
 $2.1 \leq 0.45 * 25$
 $2.1 \leq 11.25$
- Potrebna armatura u odnosu na uzdužne sile u zidu (GSN):

U x smjeru:

$$A_{sx} = n_x / f_{yd} = 31.23 / 43.48 = 0.72 \text{ cm}^2/\text{m} , (n_x \Rightarrow \text{uzdužna sila u smjeru } x)$$

U y smjeru:

$$A_{sy} = n_y / f_{yd} = 64.42 / 43.48 = 1.48 \text{ cm}^2/\text{m} , (n_y \Rightarrow \text{uzdužna sila u smjeru } y)$$

- Minimalno armiranje:

vertikalno: $\rho_{min}=0.2\%$

$$A_{sv,min} \geq 0.002 \text{ Ac}$$

$$A_{sv,min} = 4 \text{ cm}^2/\text{m} \text{ (polovica sa svake strane zide)}$$

horizontalno: $\rho_{min}=0.1\%$

$$A_{sh,min} \geq 0.001 \text{ Ac}$$

$$A_{sh,min} = 2 \text{ cm}^2/\text{m} \text{ (polovica sa svake strane zide)}$$

spone: min $4\phi 6/\text{m}^2$

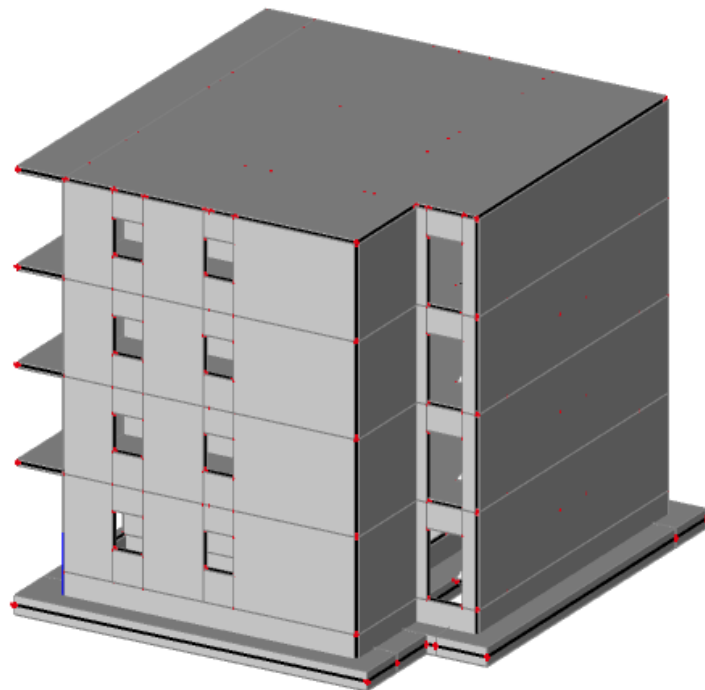
$A_{sv,min} \Rightarrow$ minimalna vertikalna armatura

$A_{sh,min} \Rightarrow$ minimalna horizontalna armatura

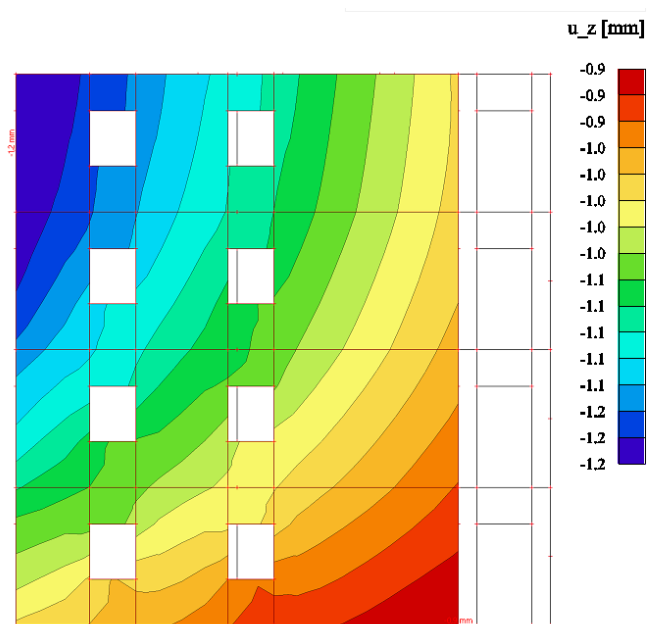
$$Ac = 2.8 * 0.2 \text{ m}^2 \Rightarrow \text{površina poprečnog presjeka}$$

Odabrana je minimalna horizontalna i vertikalna armatura, te mreža Q226 koja zadovoljava sve uvjete. Važno je napomenuti da kod viših katova ćemo imati potrebu za slabijom armaturom radi manjeg naprezanja i unutarnjih sila.

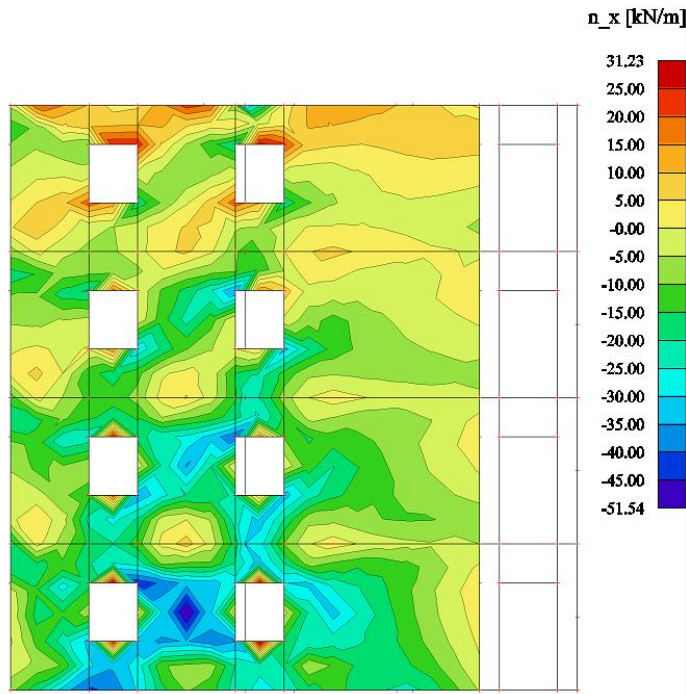
8.2. Prikaz modela i dijagrama



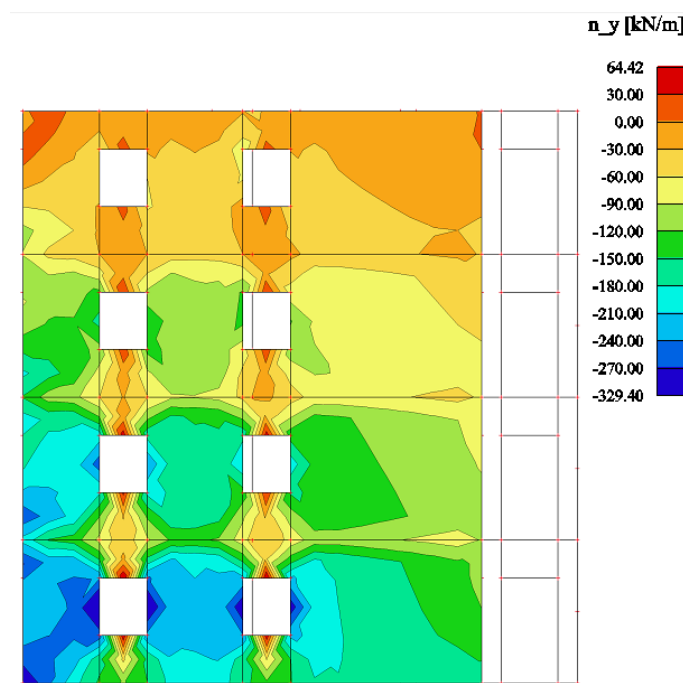
Slika 8.2.1 Položaj zida na kojem je izvršen proračun



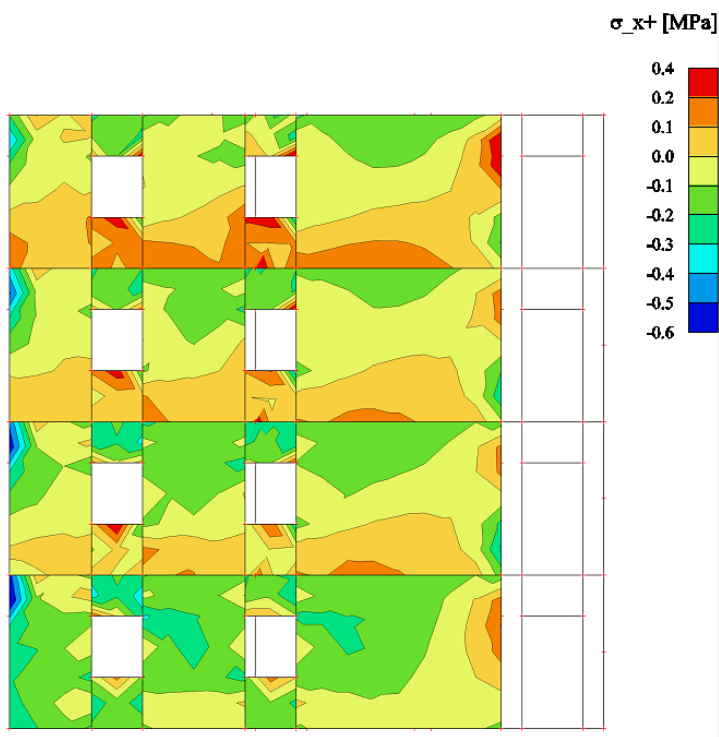
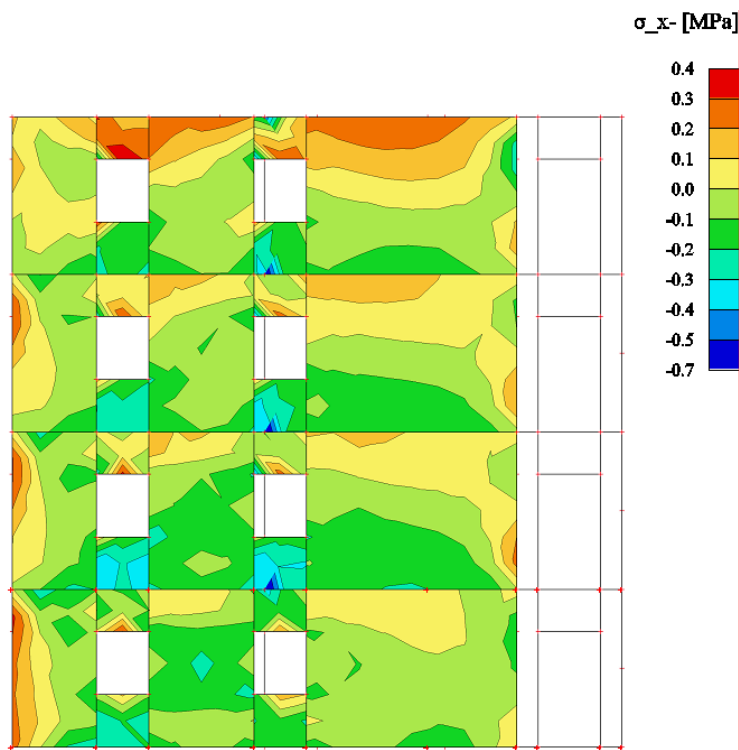
Slika 8.2.2 Pomaci (mm) za kombinaciju GSU

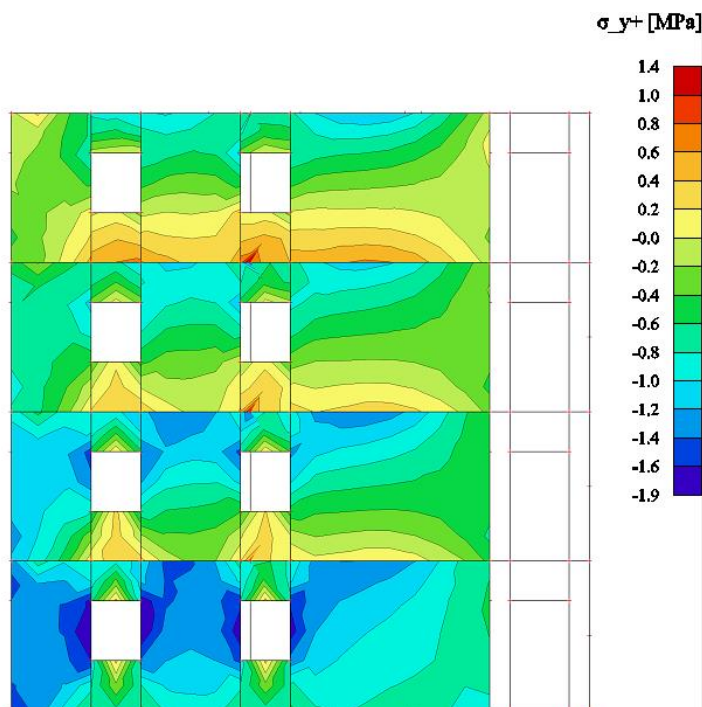
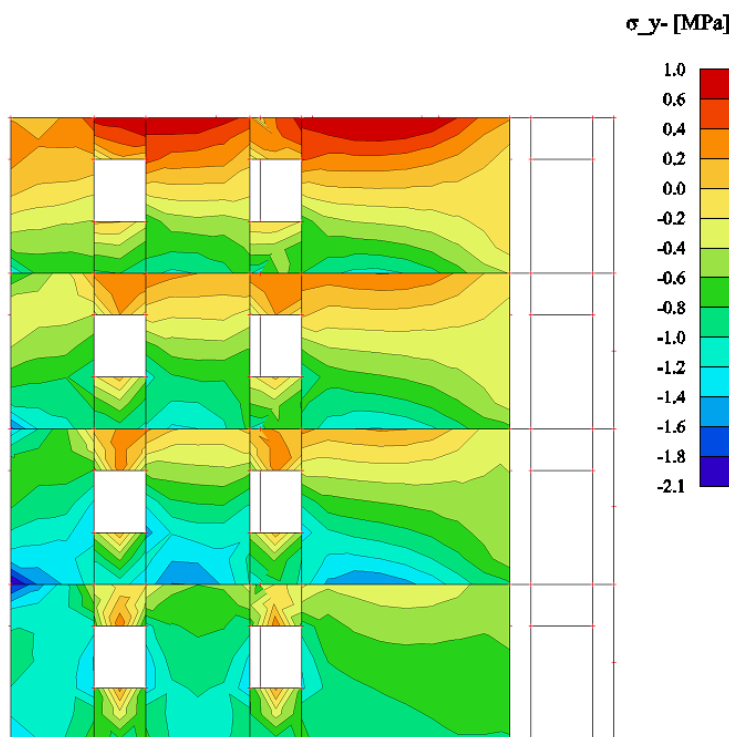


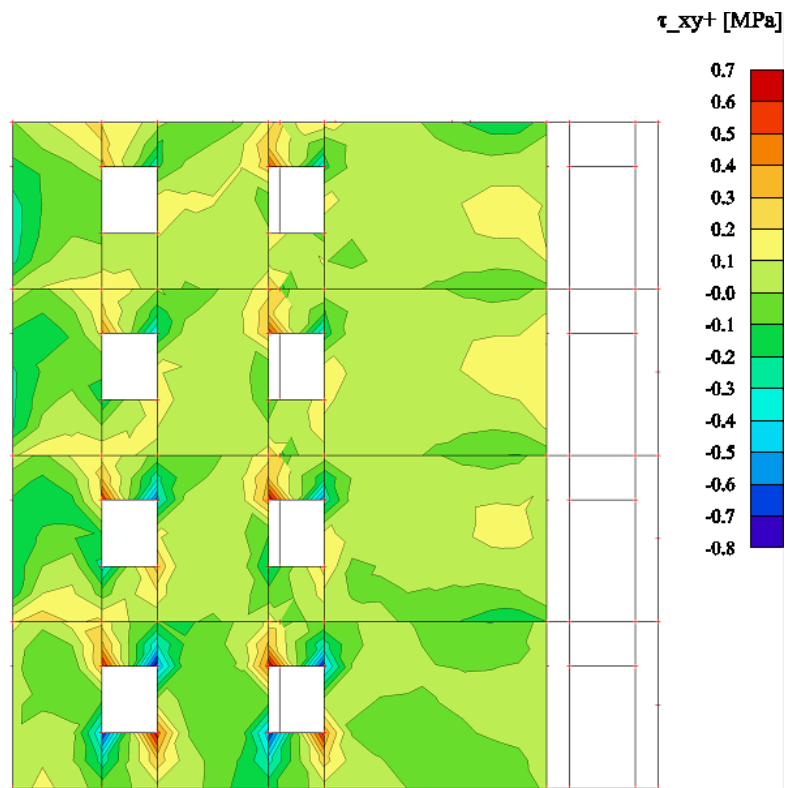
Slika 8.2.3 Uzdužne sile n_{Ed} [kN/m], u smjeru X, u zidovima za kombinaciju GSN



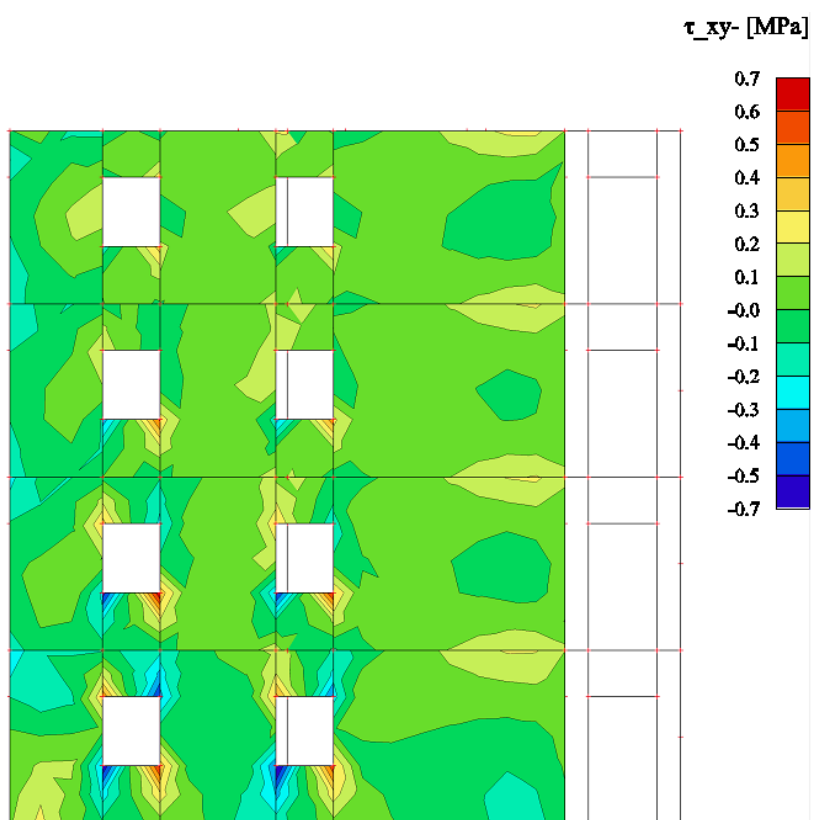
Slika 8.2.4 Uzdužne sile n_{Ed} [kN/m], u smjeru Y, u zidovima za kombinaciju GSN

Slika 8.2.5 Naprezanja u zidu σ_{x+} za kombinaciju GSNSlika 8.2.6 Naprezanja u zidu σ_{x-} za kombinaciju GSN

Slika 8.2.7 Naprezanja u zidu σ_{y+} za kombinaciju GSNSlika 8.2.8 Naprezanja u zidu σ_{y-} za kombinaciju GSN



Slika 8.2.9 Posmična naprezanja u zidu τ_{xy+} za kombinaciju GSN



Slika 8.2.10 Posmična naprezanja u zidu τ_{xy-} za kombinaciju GSN

9. PRORAČUN TEMELJA

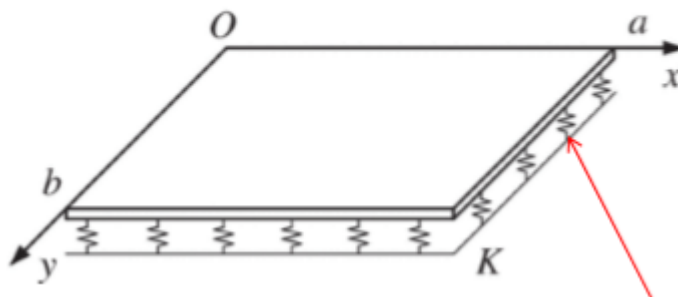
Kao što je navedeno u prethodnim poglavljima, građevina je temeljena s modelom trakastih temelja..

Osnovni problem modeliranja savitljivih konstrukcija je modeliranje međudjelovanja konstrukcija – tlo.

Rješenje savitljivih temeljnih konstrukcija analitičkom (zatvorenom) obliku u većini složenijih problema se rješava nekom od numeričkih metoda.

U rješavanju problema tlo se modelira na dva osnovna pristupa :

- Analiza u neprekidnoj sredini – proračun se vrši nekom od numeričkih metoda u kojoj se tlo modelira kao poluprostor. Potrebni podatci o tlu E i v za linearne elastične model.
- Međudjelovanje konstrukcija – tlo se modelira Winklerovim modelom (opruge). Koristi se linearan model s konstantnom krutošću ili model s promjenjivom krutošću. Ovaj pristup je približan jer se zanemaruje međusobni utjecaj pomaka različitih točaka u tlu.



Slika 10.1 Međudjelovanje konstrukcija – tlo modelirano Winkler- ovim modelom

U rješavanju problema koristio se Winklerovom model temeljenja.

Winklerov prostor samo približno opisuje deformacijske osobine temeljnog tla. Stišljivo tlo zamjenjujemo sustavom elastičnih pera, tako da je pomak točke na površini Winklerovog prostora linearne proporcionalno reaktivnom pritisku:

$$W(x) = \frac{q(x)}{K}$$

K – koeficijent reakcije tla ($\text{kN/m}^2/\text{m}'$)

Koeficijent reakcije (odgovora) podlage – Winklerov koeficijent

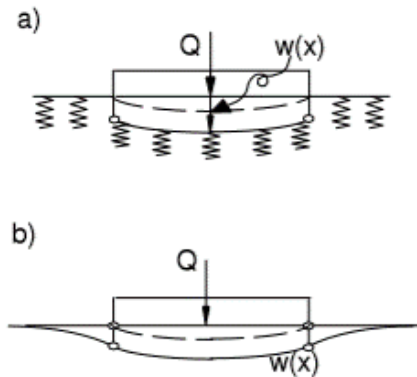
Koeficijent reakcije podlage K je odnos između dodirnog naprezanja q kojim tlo odgovara na vanjsko opterećenje i slijeganja w, koje to isto naprezanje izazove u tlu.

$$K = \frac{q}{w} \left[\frac{\text{kN}}{\text{m}^3} \right]$$

Vrijednost koeficijenta K ovisi o elastičnim svojstvima podloge i o veličini opterećene površine.

$$EI \cdot \frac{d^4 w}{dx^4} + K \cdot w(x) = p(x) + g$$

Uz korištenje rubnih uvjeta ovu diferencijalnu jednadžbu je moguće riješiti u zatvorenom obliku.



Slika 10.2 Winklerov model (a) i stvarni nosač (b)

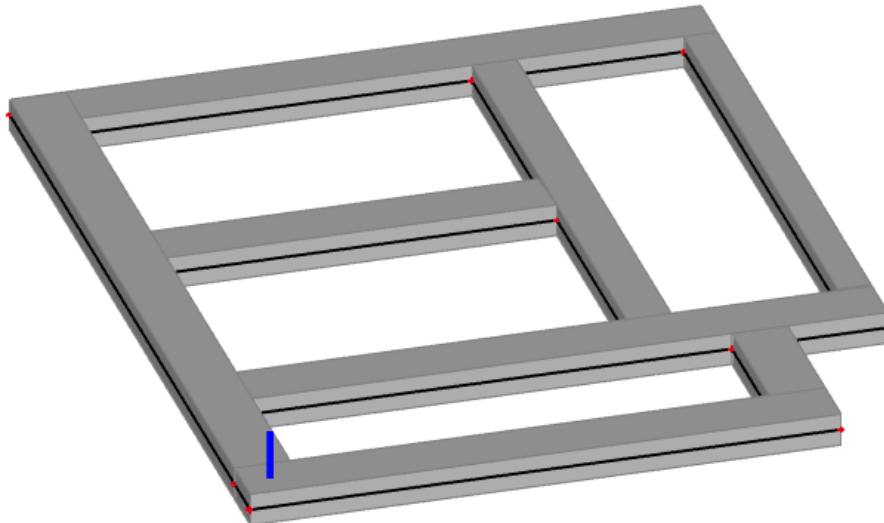
Nedostatci ovog modela :

- Opterećenje skraćuje samo ona pera na kojima greda izravno leži (zanemaruje se međusobni utjecaj)
- Na tlo se može prenijeti kao pritisak tako i zatezanje
- Određivanje koeficijenata reakcije tla (K) koji ovisi o intenzitetu opterećenja, obliku i veličini opterećene plohe , krutosti grede, svojstvima materijala grede, svojstvima temeljnog tla ispod grede

9.1. Proračun trakastih temelja

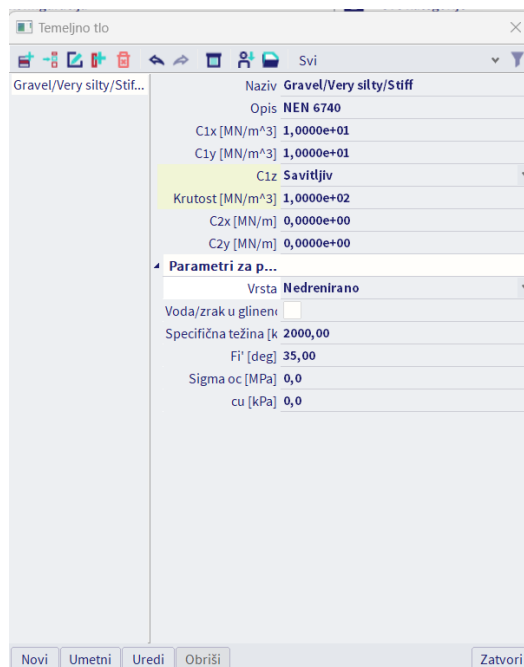
9.1.1. Model trakastih temelja

Temelji su modelirani kao plošni elementi, na kojima su postavljeni linijski ležajevi.



Slika 10.3 Model trakastih temelja

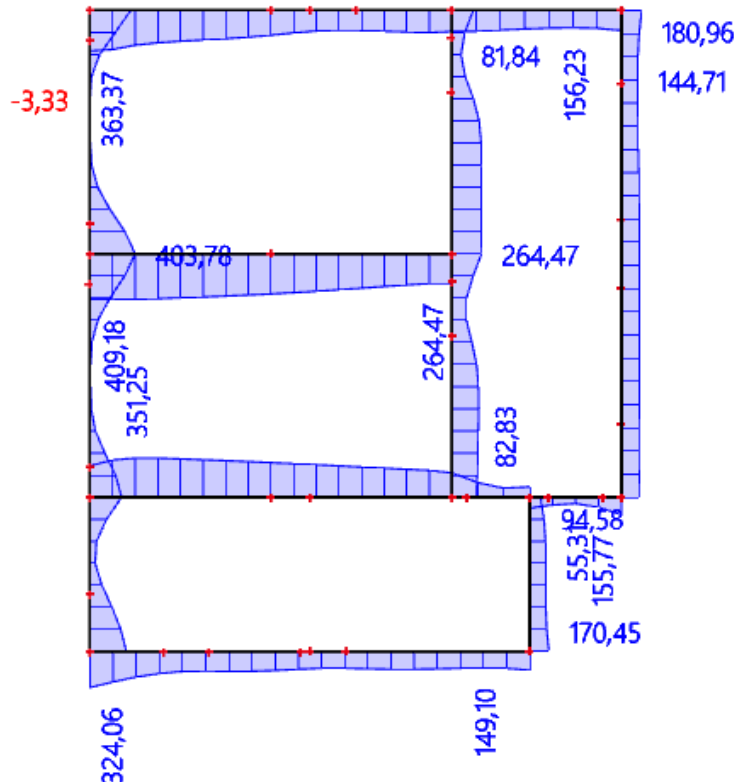
Kako bismo u model unijeli realnu stišljivost tla, linijske ležajeve ćemo modelirati kao fleksibilne kojima ćemo pomak u smjeru z zadati pomoću krutosti tla. Ostali pomaci i zaokreti su spriječeni.



Slika 10.4 Model fleksibilnih linijskih ležajeva

9.1.2. Proračun širine temeljne stope

Širine temeljnih stopa odabrali smo na način da nam zadovolje naprezanja koja nam tlo može prenijeti. Nosivost tla dobili smo iz geomehaničkog elaborata. Na osnovu geotehničih istražnjih radova dobiveni su rezultati za osovna opterećenja od 310 kPa.



Slika 10.5 Linijske reakcije na mjestima oslanjanja zidova na temeljne trake (Kn/m) za kombinaciju GSN

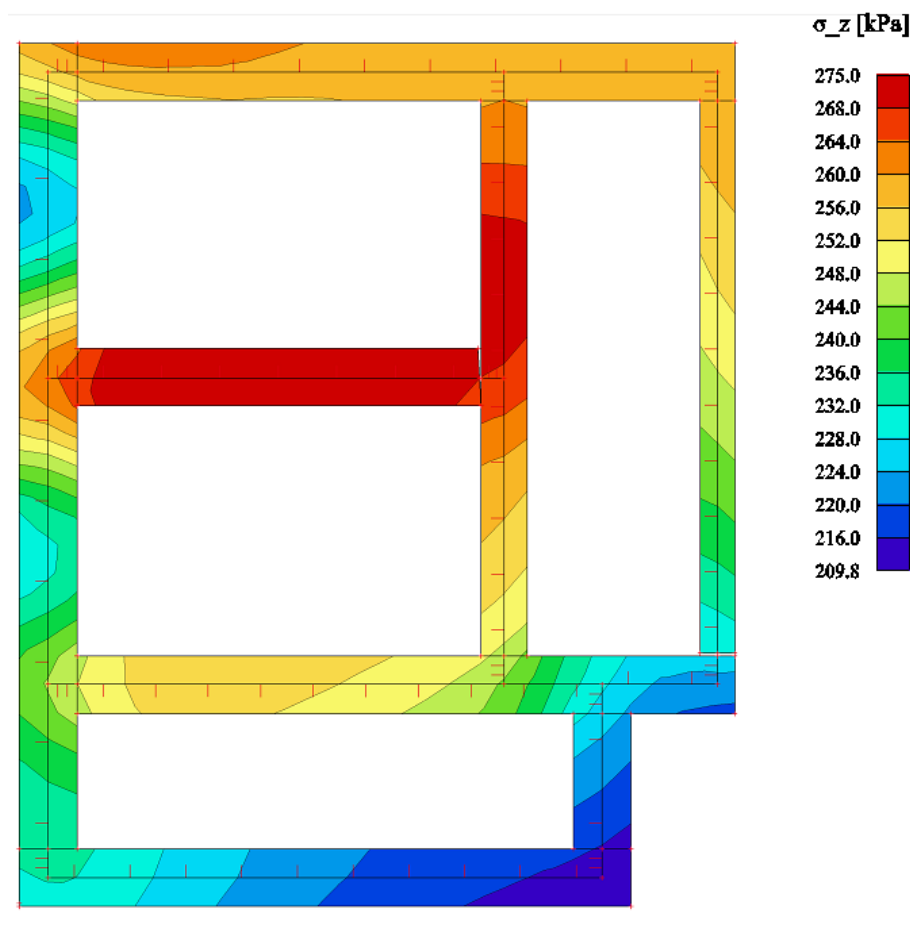
Odabrana je maksimalna prosječena linijska reakcija u iznosu od 334 kN/m. Vrijednost dopuštenog kontaktnog naprezanja je 310 kN/m².

Širina temeljne trake određena je na sljedeći način:

$$b = 334/310 = 1.07$$

Usvoje na širina temeljne trake je 1,0 m; b/h=100/60 cm.

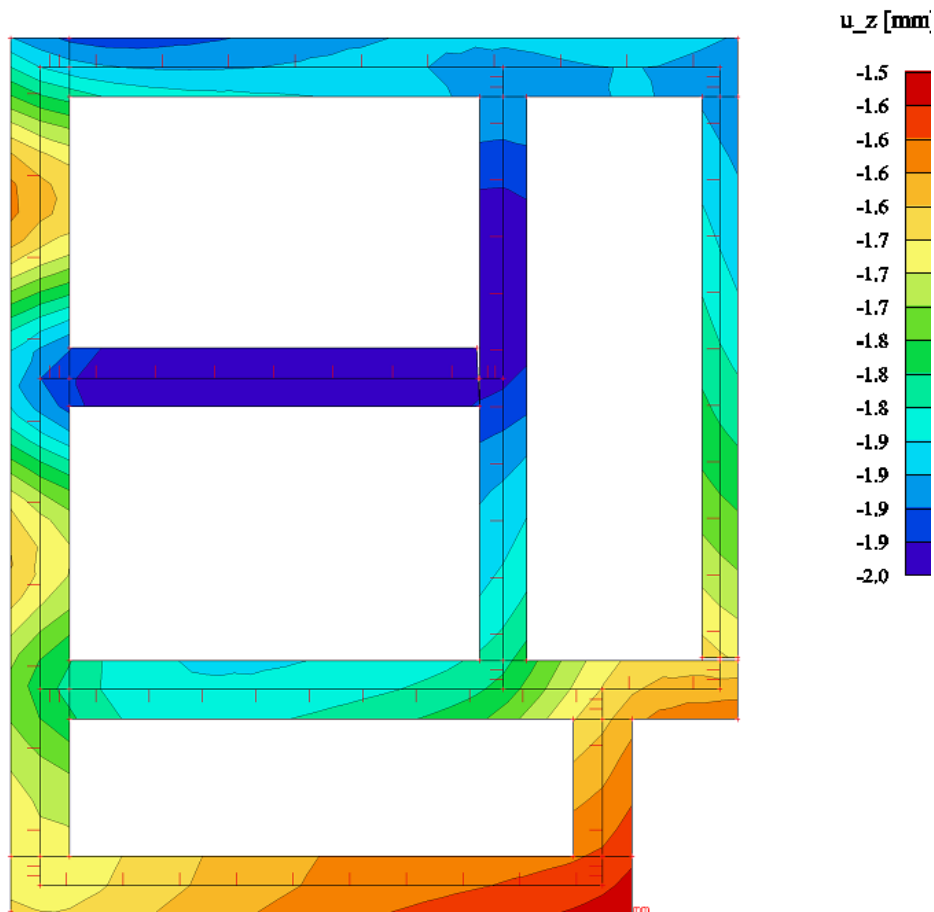
Usvojene su još dvije širine temelja radi razlike u opterećenju tj. Bolje iskoristivosti temelja (može se vidjeti u tlocrtu temelja).



Slika 10.6 Naprežanja u temeljima za kombinaciju GSN

9.1.3. Slijeganje građevine

Iz tablice je vidljivo da su naprezanja ispod temeljnih traka približno jednaka odnosno postignuto je ravnomjerno naprezanje na kontaktu temelja i nosivog tla. Ravnomjernim naprezanjem dobiva se ravnomjerno slijeganje temeljnog tla, na taj način izbjegava se pojava diferencijalnog slijeganja.



Slika 10.7 Slijeganje trakastih temelja za kombinaciju GSN

Na slici vidimo da se građevina ravnomjerno slegnula odnosno izbjegli smo pojavu diferencijalnog slijeganja.

10. GRAFIČKI PRILOZI

Redom su priloženi:

- Tlocrt temelja M 1:75
- Tlocrt prizemlja M 1:75
- Tlocrt karakteristične etaže M 1:75
- Presjek 1-1 M 1:75
- Presjek 2-2 M 1:75

11. LITERATURA

- Ante Mihanović, Boris Trogrlić, **Građevna statika I**, Sveučilište u Splitu, Fakultet građevinarstva, arhitekture i geodezije, Split 2011.
- Ante Mihanović, Boris Trogrlić, **Građevna statika II**, Sveučilište u Splitu, Fakultet građevinarstva, arhitekture i geodezije, Split 2011.
- Ivan Tomičić, **Betonske konstrukcije**, Društvo hrvatskih građevinskih konstruktora, Zagreb 1996.
- Jure Radnić, Alen Harapin, **Osnove betonskih konstrukcija**, interna skripta, Sveučilište u Splitu, Fakultet građevinarstva, arhitekture i geodezije, Split 2015.
- HRN EN 1992-1-1:2013; Eurokod 2: Projektiranje betonskih konstrukcija -- Dio 1-1: Opća pravila i pravila za zgrade (EN 1992-1-1:2004+AC:2010)